



VYSOKÉ UČENÍ TECHNICKÉ V BRNĚ

BRNO UNIVERSITY OF TECHNOLOGY

FAKULTA ELEKTROTECHNIKY A KOMUNIKAČNÍCH TECHNOLOGIÍ

FACULTY OF ELECTRICAL ENGINEERING AND COMMUNICATION

ÚSTAV RADIOTELEKTRONIKY

DEPARTMENT OF RADIO ELECTRONICS

IOT MONITORING OVZDUŠÍ

IOT AIR MONITORING

SEMESTRÁLNÍ PRÁCE

SEMESTRAL THESIS

AUTOR PRÁCE

AUTHOR

Martin Kousal

VEDOUCÍ PRÁCE

SUPERVISOR

doc. Ing. Tomáš Frýza, Ph.D.

BRNO 2022



Semestrální práce

bakalářský studijní program **Elektronika a komunikační technologie**

Ústav radioelektroniky

Student: Martin Kousal

ID: 221063

Ročník: 3

Akademický rok: 2021/22

NÁZEV TÉMATU:

IoT monitoring ovzduší

POKYNY PRO VYPRACOVÁNÍ:

Cílem práce je sestavit systém, který bude schopen měřit kvalitativní parametry ovzduší, bezdrátově odesílat a zpracovávat na některém z dostupných serverů pro IoT, např. ThingSpeak, ubidots, Cayenne, aj. Vytvořené zařízení bude použito pro měření v reálných prostředích jako je domácnost, škola, venkovní prostředí a povedou ke sledování míry znečištění životního prostředí. Dílčím cílem je ucelený návrh hardwarové a softwarové platformy, která bude dostupná přes internet všem zájemcům o neprofesionální měření a umožní tak vytvoření rozsáhlé monitorovací sítě.

BPC/BKC-SEP:

Prostudujte dostupné koncepce využívající senzory plynů, prachových částic a doplňte je o měření jiných veličin jako je úroveň hluku, světelný smog, UV záření apod. Prostudujte možnosti řídícího prvku měřicí jednotky např. AVR, Raspberry Pi, STM32, ESP, aj. a zvolte ideální variantu. Prostudujte vhodné komunikační rozhraní pro přenos dat na server. Vyberte veškeré komponenty, navrhněte blokové schéma zařízení, sestavte obvodové zapojení, DPS a realizujte jej. Při návrhu dbejte na nízkou spotřebu finálního zařízení.

BPC/BKC-BAP:

Zařízení zkompletujte, oživte, naprogramujte obslužné firmwary a zprovozněte sběr dat. Na serveru provádějte výpočty základních statistik, jako týdenní přehled hodnot, min./max., střední hodnota, filtrování chybných dat, aktuální rozptylové podmínky, aj. Zveřejněte veškeré podklady pro výrobu zařízení i měřená data.

Pozn.:

Výhodou je základní znalost programování v prostředí Matlab a C.

DOPORUČENÁ LITERATURA:

- [1] Air Pollution Detector. Instructables circuits [online]. Autodesk, 2018 [cit. 2021-5-24]. Dostupné z: <https://www.instructables.com/Air-Pollution-Detector/>
- [2] Analyzing Weather Data from an Arduino-based weather station. MathWorks [online]. 2019 [cit. 2021-5-24]. Dostupné z: <https://www.mathworks.com/matlabcentral/fileexchange/47049-analyzing-weather-data-from-an-arduino-based-weather-station>

Termín zadání: 20.9.2021

Termín odevzdání: 3.1.2022

Vedoucí práce: doc. Ing. Tomáš Frýza, Ph.D.

ABSTRAKT

Tato semestrální práce se zabývá vytvořením zařízení pro měření kvalitativních parametrů ovzduší a které je následně bezdrátově přenáší na server, kde se naměřená data zpracovávají a zobrazují uživateli. Cílem je vytvořit zařízení s co nejnižším odběrem pro možnost provozu na akumulátor.

KLÍČOVÁ SLOVA

IoT, ESP32, senzory, senzor prachových částic, kvalita vzduchu, LoRa, senzor plynů, teplota, vlhkost, intenzita osvětlení, UV záření

ABSTRACT

Purpose of this semestral work is to make a device that can measure air quality parameters and send them wirelessly to the server, where that measured data are processed and then showed to the user. The aim is to create a device with the lowest possible power consumption for the possibility of the battery operation.

KEYWORDS

IoT, ESP32, sensors, dust particles sensor, air quality, LoRa, gas sensor, temperature, humidity, light intensity, UV light

KOUSAL, Martin. *IoT monitoring ovzduší*. Brno: Vysoké učení technické v Brně, Fakulta elektrotechniky a komunikačních technologií, Ústav radioelektroniky, 2022, 52 s. Semestrální práce. Vedoucí práce: doc. Ing. Tomáš Frýza, Ph.D.

Prohlášení autora o původnosti díla

Jméno a příjmení autora: Martin Kousal
VUT ID autora: 221063
Typ práce: Semestrální práce
Akademický rok: 2021/22
Téma závěrečné práce: IoT monitoring ovzduší

Prohlašuji, že svou závěrečnou práci jsem vypracoval samostatně pod vedením vedoucí/ho závěrečné práce a s použitím odborné literatury a dalších informačních zdrojů, které jsou všechny citovány v práci a uvedeny v seznamu literatury na konci práce.

Jako autor uvedené závěrečné práce dále prohlašuji, že v souvislosti s vytvořením této závěrečné práce jsem neporušil autorská práva třetích osob, zejména jsem nezasáhl nedovoleným způsobem do cizích autorských práv osobnostních a/nebo majetkových a jsem si plně vědom následků porušení ustanovení § 11 a následujících autorského zákona č. 121/2000 Sb., o právu autorském, o právech souvisejících s právem autorským a o změně některých zákonů (autorský zákon), ve znění pozdějších předpisů, včetně možných trestněprávních důsledků vyplývajících z ustanovení části druhé, hlavy VI. díl 4 Trestního zákoníku č. 40/2009 Sb.

Brno
.....
podpis autora*

*Autor podepisuje pouze v tištěné verzi.

PODĚKOVÁNÍ

Rád bych poděkoval vedoucímu semestrální práce panu doc. Ing. Tomáši Frýzovi, Ph.D. za odborné vedení, konzultace, trpělivost a podnětné návrhy k práci.

Obsah

| | |
|--|-----------|
| Úvod | 11 |
| 1 Teoretická část | 12 |
| 1.1 Měření oxidu uhelnatého | 12 |
| 1.1.1 Optický senzor | 12 |
| 1.1.2 Elektrochemický senzor | 12 |
| 1.1.3 Polovodičový senzor | 13 |
| 1.2 Měření koncentrace prachových částic | 13 |
| 1.3 Měření intenzity osvětlení | 14 |
| 1.3.1 Fotodiody | 14 |
| 1.3.2 Fototranzistory | 15 |
| 1.4 Měření UV záření | 15 |
| 1.4.1 UVA záření | 15 |
| 1.4.2 UVB záření | 15 |
| 1.4.3 UVC záření | 15 |
| 1.5 Měření teploty | 16 |
| 1.5.1 Kovové senzory | 16 |
| 1.5.2 Termočlánky | 16 |
| 1.5.3 Polovodičové senzory | 17 |
| 1.6 Měření atmosférického tlaku | 17 |
| 1.6.1 Piezoelektrické senzory | 17 |
| 1.6.2 MEMS senzory | 18 |
| 1.7 Měření vzdušné vlhkosti | 18 |
| 1.8 IoT sítě | 19 |
| 1.8.1 LoRa | 19 |
| 1.8.2 LoRaWAN | 19 |
| 1.8.3 Sigfox | 21 |
| 1.8.4 NB-IoT | 21 |
| 1.8.5 WiFi | 22 |
| 2 Návrh zařízení | 23 |
| 2.1 Výběr senzorů | 23 |
| 2.1.1 Senzor koncentrace prachových částic | 23 |
| 2.1.2 Senzor oxidu uhelnatého | 24 |
| 2.1.3 Senzor UV záření | 25 |
| 2.1.4 Senzor teploty | 25 |
| 2.1.5 Senzor intenzity osvětlení | 26 |

| | | |
|----------------------|--|-----------|
| 2.1.6 | Senzor atmosférického tlaku | 28 |
| 2.1.7 | Senzor měření vlhkosti | 28 |
| 2.2 | Výběr řídícího mikrokontroléru | 29 |
| 2.2.1 | Analogově digitální převodník | 30 |
| 2.3 | Přenos dat na server | 31 |
| 2.3.1 | Výběr LoRa modulu | 32 |
| 2.4 | Napájení zařízení | 33 |
| 2.4.1 | Výběr step-down měniče | 33 |
| 2.4.2 | Výběr lineárního stabilizátoru | 35 |
| 2.5 | Výsledné zapojení zařízení | 36 |
| 2.5.1 | Anténa pro LoRa modul | 36 |
| 3 | Server pro zpracování naměřených dat | 38 |
| 4 | Návrh desky plošných spojů | 39 |
| Závěr | | 40 |
| Literatura | | 41 |
| Seznam příloh | | 46 |
| A | Schéma zapojení zařízení | 47 |
| B | Foto realizované desky plošných spojů | 51 |

Seznam obrázků

| | | |
|------|--|----|
| 1 | Blokový diagram výsledné funkce zařízení. | 11 |
| 1.1 | Blokové schéma senzoru prachových částic PM1003. | 14 |
| 1.2 | Rozdělení záření podle vlnové délky. | 16 |
| 1.3 | MEMS kapacitní senzor tlaku. | 18 |
| 1.4 | Ukázka průběhu rozprostřeného spektra v čase. | 20 |
| 1.5 | Typické zapojení LoRaWAN sítě. | 21 |
| 2.1 | Senzor pro měření koncentrace prachových částic PMS5003. | 24 |
| 2.2 | Senzor pro měření koncentrace oxidu uhelnatého. | 25 |
| 2.3 | Senzor pro měření teploty SHT40. | 26 |
| 2.4 | Senzor pro měření intenzity osvětlení VEML7700. | 27 |
| 2.5 | Blokový diagram mikrokontroleru ESP32. | 30 |
| 2.6 | LoRa modul RFM95W. | 32 |
| 2.7 | Zjednodušené schéma zapojení měniče TPS54331. | 34 |
| 2.8 | Schéma zapojení step-down měniče. | 35 |
| 2.9 | Schéma zapojení lineárního stabilizátoru. | 36 |
| 2.10 | Celkové blokové schéma navrhovaného zařízení. | 37 |
| 4.1 | Pohled na 3D model desky plošného spoje shora. | 39 |
| B.1 | Foto realizované desky osazené z výroby. | 51 |
| B.2 | Foto realizované desky včetně doosazení součástek a přidání modulů se senzory. | 52 |

Seznam tabulek

| | | |
|-----|---|----|
| 2.1 | Porovnání vybraných parametrů senzorů koncentrace prachových částic | 23 |
| 2.2 | Srovnání parametrů vybraných senzorů teploty. | 26 |
| 2.3 | Srovnání parametrů vybraných senzorů intenzity osvětlení. | 27 |
| 2.4 | Srovnání parametrů vybraných senzorů atmosférického tlaku. | 28 |
| 2.5 | Srovnání parametrů vybraných mikrokontrolerů. | 29 |

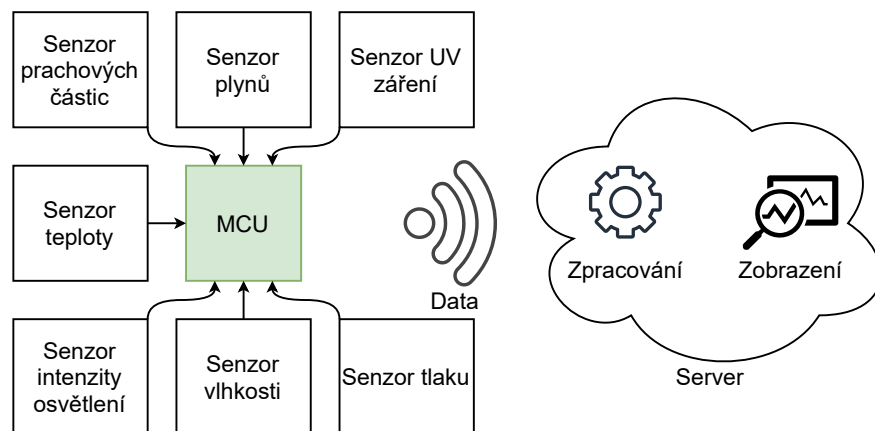
Úvod

V dnešní době jsou sítě IoT téměř na každém kroku. Proto se snaží i velcí výrobci domácí elektroniky implementovat tuto konektivitu do svých zařízení. Většinou se jedná o uzavřený ekosystém senzorů, které spolu komunikují pomocí sítě využívající bezlicenční pásmo a přenáší data na server, kde se dále zpracovávají a vyhodnocují. Lze je tedy dnes najít i v běžné domácnosti, kde se mohou zapojit do chytré domácnosti, či mnohem častěji v průmyslu při automatizaci výrobních procesů.

V komerčním prostředí nejsou zatím dostupná žádná zařízení, která by umožňovala monitorovat kvalitu ovzduší v domácích podmínkách. Lze nalézt mnoho profesionálních zařízení, které jsou určeny na měření jedné konkrétní veličiny (např. koncentrace prachových částic), avšak takové zařízení stojí tisíce korun. Cílem této práce je tedy navrhnout, oživit a naprogramovat zařízení, které umožní monitorovat a vyhodnocovat základní veličiny o kvalitě ovzduší.

Základní myšlenkou IoT sítí a zařízení do nich připojených je velice nízká spotřeba, díky čemuž dokáží vydržet v provozu na baterie i několik let. Nízké spotřeby je dosaženo nejen vybranými senzory a řídícím mikroprocesorem, ale hlavně díky nízkým nárokům na počet přenesených dat a vysílací výkon. Celé zařízení tedy bude navrhováno s ohledem na výslednou spotřebu při zachování uspokojivé přesnosti měření a také ceně použitých komponent.

Výsledky měření budou přenášeny do databáze, odkud se mohou používat pro vykreslování do grafů či pro následné zpracování ve formě rychlých přehledů (např. průměrné denní hodnoty). Tyto výsledky budou předávány uživateli skrze webovou službu, takže si je bude moci zobrazit v podstatě na jakémkoli zařízení, které je připojeno k internetu. Blokové schéma popisující fungování zařízení lze vidět na obrázku 1.



Obr. 1: Blokový diagram výsledné funkce zařízení.

1 Teoretická část

V teoretické části práce se zaměřím na obecné principy, na kterých pracují senzory pro monitoring ovzduší. Převážná část z použitých senzorů využívá nepřímý způsob měření námi požadovaných veličin, kde se většinou změna dané veličiny projeví na senzoru změnou odporu a tím i napětí či proudu jím protékajícím.

1.1 Měření oxidu uhelnatého

Oxid uhelnatý je jedovatý plyn bez chuti a zápachu. Vzniká nejčastěji při nedokonalém hoření převážně pevných paliv ale i plynů, proto je třeba jeho hodnotu hlídat. Udává se, že zhruba od 100 ppm (počet částic na jeden milion) je u většiny lidí přítomen nějaký ze symptomů otravy tímto plynnem (bolest hlavy, únava, nevolnost).

1.1.1 Optický senzor

Oxid uhelnatý lze měřit více způsoby. Nejpřesnější možností je optický senzor využívající infračervené světlo. Tento typ senzoru je založen na základě měření rozdílu intenzity infračerveného záření o dané vlnové délce. Přiváděný plyn je osvětlován infračerveným zářením, které je přítomnými molekulami oxidu pohlcováno a poté je přes reflexní vrstvu odraženo zpět do snímače, kde je umístěn pyrodetektor, který převádí intenzitu tohoto světla na elektrický signál. Se vzrůstající koncentrací klesá intenzita světla dopadajícího na povrch pyrodetektora. Tento princip měření je nejpřesnější, podává stabilní výsledky a má dlouhou životnost. Bohužel je velice drahý, a tak jej není možné použít v domácích zařízeních.

1.1.2 Elektrochemický senzor

Tento druh senzoru pracuje na principu měření proudu vznikajícího reakcí sledovaného plynu s elektrolytem, který je obsažen uvnitř senzoru. Při konstrukci takového senzoru je třeba zvolit elektrody a elektrolyt tak, aby na jedné z elektrod docházelo k chemické reakci, která vyvolá změnu proudu. Tato změna je následně zesílena do měřitelné podoby, a odpovídá koncentraci oxidu uhelnatého. Bohužel díky nutnosti chemické reakce několika přítomných látek není tento druh senzoru možné zkonstruovat pro dlouhou životnost. Spolu s tímto neduhem je zde také časová nestálost podávaných výsledků kvůli ubývání elektrolytu a opotřebení měřících elektrod. Životnost takového senzoru je tedy maximálně v řádu několika málo roků.

1.1.3 Polovodičový senzor

Poslední a zároveň nejlevnější možností měření koncentrace oxidu uhelnatého je použití polovodičových senzorů. Polovodičový přechod u těchto senzorů je vyroben tak, aby se při přítomnosti sledovaného plynu změnila jeho vodivost. Na základě této změny jsme poté schopni změřit napětí a proud na přechodu, čímž můžeme určit koncentraci CO. Nevýhodou těchto systémů je jejich relativní nepřesnost a hlavně nelineární průběh měřeného signálu. Jsou ovšem díky své ceně snadno použitelné a dostupné v komerčně prodávaných detektorech do domácností a pro laická měření. Pro exaktní měření je ovšem nutná jejich častější kalibrace vůči známé koncentraci měřeného plynu.

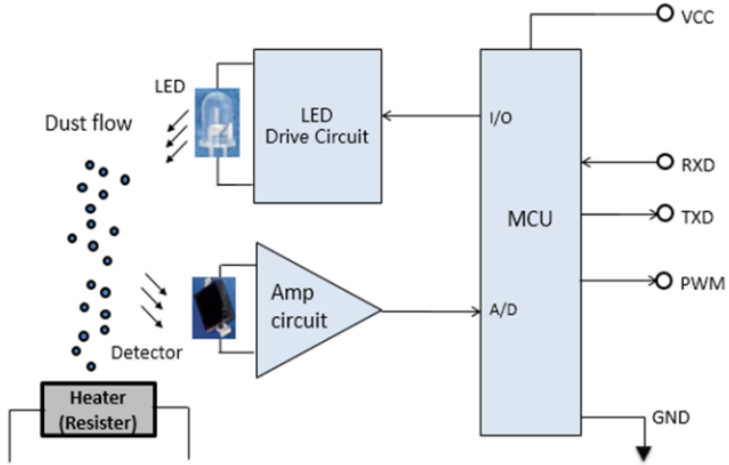
1.2 Měření koncentrace prachových částic

Prachové částice je možné rozdělit do několika kategorií podle jejich velikosti. Často se lze setkat s pojmem např. PM2.5, což je zkratka z anglického particulate matter (pevné částice) a číslo, které udává maximální velikost těchto částic v μm . Nejčastěji se měří částice do velikosti 10 μm , 2,5 μm a 1 μm . Částice o velikosti 10 μm nejsou pro lidský organismus příliš škodlivé, lidské tělo jich většinu dokáže zachytit již při vstupu do dýchacích cest. Problém nastává při vyšší koncentraci částic o velikosti 2,5 μm . Zde již tělo nemá přirozenou obranu a dostávají se tak přímo do plic. Částice menší než 0,5 μm jsou schopny proniknout až do krevního řečiště.

Nejčastěji se v praxi měří koncentrace částic o velikosti 10 μm a 2,5 μm . Všechna zařízení pro měření těchto částic fungují na principu pohlcování či odrážení světelného paprsku. Pro měření je tedy potřeba zdroj světla a detektor světelného paprsku. Jako zdroj se používají LED nebo stále častěji laser. Princip měření tedy spočívá v osvícení vzorku vzduchu daným paprskem světla, který se o prachové částice ve vzorku rozptýlí nebo pohltí. Množství dopadeného světla je tedy nepřímo úměrné koncentraci prachových částic v daném vzorku. V principu jsme schopni měřit tak malé částice, jak přesný zdroj světla (šířka paprsku) jsme schopni vyrobit a také jej potom detektovat.

Dříve používané LED mají nevýhodu v tom, že vyzařují široký paprsek světla, který nejsme schopni jednoduše soustředit do jednoho bodu. Lze využít optickou soustavu pro zaostření takového paprsku světla, ovšem v daném prašném prostředí by docházelo k častému opotřebení a zaprášení čoček, které by poté ztrácely své vlastnosti a měření by bylo nemožné. Z těchto důvodů je v dnešní době více používanější laser, jelikož jsme schopni vytvořit paprsek o dané vlnové délce, výkonové hustotě a velikosti.

Poslední součástí těchto detektorů je mechanismus, kterým se do senzoru dostává



Obr. 1.1: Blokové schéma senzoru prachových částic PM1003 [1].

čerstvý vzorek vzduchu. Nejjednodušší je využití malého ventilátoru, který bude do prostoru senzoru vhánět čerstvý vzduch z okolí. Nevýhodou takového řešení je hlučnost senzoru a také možnost zanášení senzoru nečistotami z okolí. Proto se objevují i senzory, které mají tento ventilátor nahrazený topným elementem (nejčastěji výkonový rezistor), kterým protéká proud a ohřívá vzduch okolo. Ten pak díky rozdílné hustotě teplého a studeného vzduchu začne stoupat vzhůru a unáší s sebou prachové částice do měřeného prostoru. Zde je ovšem třeba dávat pozor na konstrukci takového senzoru a na výrobcem předepsané požadavky na montáž, jelikož jej nelze umístit téměř libovolně v prostoru, jako tomu může být u senzoru s ventilátorem.

1.3 Měření intenzity osvětlení

Intenzita osvětlení se měří na základě fotoefektu. To znamená, že při dopadu elektromagnetického záření na látku dojde k uvolnění elektronů z této látky a naopak k pohlcení fotonů. Nejčastěji se pro tento jev používají polovodiče.

1.3.1 Fotodiody

Prvním z používaných typů senzorů jsou fotodiody. U nich se využívá vnitřního fotoelektrického jevu, který je pro polovodiče typický. Dopadem fotonů na PN přechod fotodiody dochází ke zvyšování procházejícího proudu diodou. Tento proud jsme schopni následně měřit a vyhodnocovat. Fotodiody mají výhodu v jejich rychlé odezvě na skokovou změnu a citlivosti.

1.3.2 Fototranzistory

Dalším často používaným prvkem pro měření intenzity osvětlení jsou fototranzistory. Zde se využívá nejčastěji tranzistor NPN, který má volnou bázi. Při výrobě jsou konstruovány tak, aby dopadající fotony dopadly do oblasti kolektoru a způsobily tak zvýšení protékajícího proudu tranzistorem. Díky tomu, že se díky fotonům řídí proud do báze tranzistoru, tak je tranzistor na světlo více citlivější než fotodioda. Nevýhodou fototranzistoru je shora omezené spektrum detekovaného světla a jeho pomalá reakce.

1.4 Měření UV záření

Měření UV záření probíhá v principu úplně stejně, jako měření intenzity osvětlení. Jediným podstatným rozdílem je vlnová délka záření, na které jsou dané senzitivní součástky nejvíce citlivé.

1.4.1 UVA záření

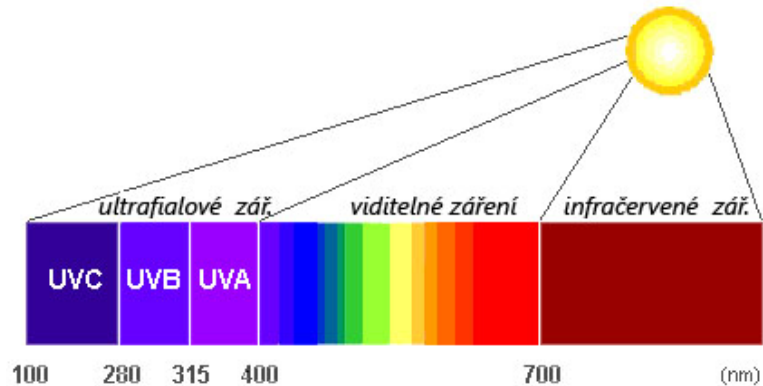
UVA záření je nejčastěji se vyskytující záření, které má rozsah vlnových délek mezi $315\text{ }\mu\text{m}$ do $400\text{ }\mu\text{m}$. Toto záření je zcela běžně přítomné všude kolem nás, jelikož dokáže projít zemskou atmosférou. Při běžném kontaktu s tímto zářením nám nehrozí žádné zdravotní problémy, ale nedoporučuje se trvalejší vystavení tomuto záření. Běžně se také využívá při procesech luminiscence či různých světelných efektech. Lidské oko jako takové jej není schopné vnímat, narozdíl od některých zvířat.

1.4.2 UVB záření

Dalším z UV záření, se kterým se můžeme setkat, je UVB záření s vlnovou délkou od $280\text{ }\mu\text{m}$ do $315\text{ }\mu\text{m}$. Toto záření je pro živé organismy zhoubné, jelikož dokáže rozkládat bílkoviny. Při dopadu do lidského oka dokáže způsobit oslepnutí, neblahý efekt má též na rostliny, u kterých ovlivňuje fotosyntézu, a také způsobuje jejich úhyn.

1.4.3 UVC záření

Posledním z těchto záření je UVC záření, které je, se svou vlnovou délkou menší než $280\text{ }\mu\text{m}$, nejtvrďším z těchto záření. Při kontaktu s kyslíkem začíná vznikat ozon a je silně karcinogenní pro všechny živé organismy. Díky své krátké vlnové délce dokáže proniknout relativně hluboko do všech organických materiálu a je tak velice nebezpečné.



Obr. 1.2: Rozdělení záření podle vlnové délky [2].

1.5 Měření teploty

Teplota je základní veličinou, která se dá ve spojitosti s ovzduším měřit. Pro tento účel se často používají materiály, které spolu s měnící se teplotou mění svůj odpor. Dvě nejčastější skupiny těchto materiálů jsou kovy a polovodiče. Kovy mají většinou kladný teplotní koeficient odporu, což znamená, že se vzrůstající teplotou roste i jejich odpor. Naopak druhou často používanou skupinou materiálů jsou polovodiče, které mají negativní teplotní koeficient, a tak jejich odpor s rostoucí teplotou klesá.

1.5.1 Kovové senzory

Pro potřeby obecného měření lze využít odporové senzory vyrobené z kovů. Vyznačují se poměrně vyrovnanou charakteristikou a také vysokým teplotním rozsahem. Tyto senzory se dále dělí na NTC a PTC, podle toho, jestli mají negativní teplotní koeficient, nebo pozitivní. Například platinové teplotní čidlo je možné použít pro velký rozsah teplot, přibližně od -200°C do 800°C . Mezi jejich hlavní výhody patří již zmíněná linearita a odolnost při vysokých teplotách. Nevýhodami jsou nutnost přesného zpracování signálu díky menší citlivosti a také jejich tepelná kapacita, díky které nejsou schopny rychle reagovat na změnu teploty.

1.5.2 Termočlánky

Další z možností měření, založené na kovech, jsou termočlánky. Ty pracují na základě Seebeckova jevu, kde při spojení dvou různých kovů dochází při změně teploty

k vygenerování malého napětí, které jsme schopni po zesílení dále měřit. Jejich velkou výhodou jsou malé rozměry a odolnost i při relativně vysokých teplotách (tisíce °C). Jsou tedy vhodné do aplikací, kde je potřeba velký rozsah teplot a zároveň jsme limitováni maximálními rozměry.

1.5.3 Polovodičové senzory

Polovodiče obecně jsou závislé na teplotě, takže je lze použít pro měření teploty. Jejich charakteristika ovšem většinou není lineární, a závisí na Shockleyho rovnici (1.1).

$$I_A = I_S \cdot \left(e^{\frac{U_A}{n \cdot k \cdot T}} - 1 \right) \quad (1.1)$$

Kde I_A je proud procházející polovodičem, I_S je saturační proud, q je elementární náboj elektronu, U_A je difúzní napětí, n je emisní koeficient, k je Boltzmannova konstanta a T je teplota přechodu polovodiče.

Nejvíce lineární, a zároveň časově stálou závislost na teplotě, má varikap. Pro orientační měření (např. sepnutí aktivního chlazení) lze použít i diodu či tranzistor, který se umístí na společný chladič s výkonovými prvky a následně lze díky změně proudu jimi procházejícím řídit následnou logiku.

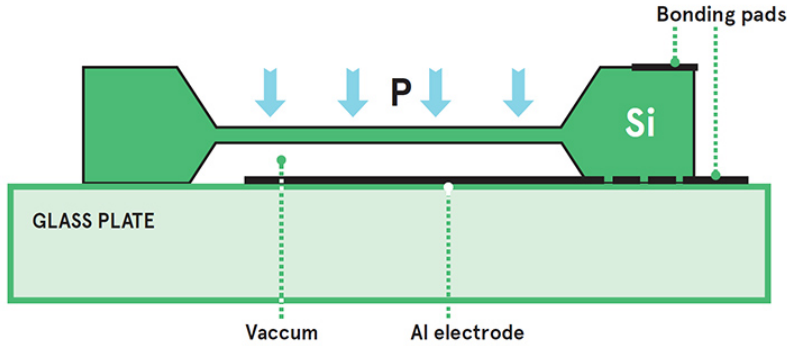
Díky stále dokonalejším výrobním procesům pro integrované obvody lze integrovat teplotní senzory přímo na čip. Přímo na tomto čipu tak může být nejen teplotní senzor, ale i např. operační zesilovač či řídící čip pro digitální komunikační rozhraní.

1.6 Měření atmosférického tlaku

Pro měření atmosférického tlaku se nejčastěji používá měřidel založených na principu vytlačování kapaliny do předem známého prostoru se stupnicí vlivem působící síly. Takováto měřidla jsou v meteorologii stále hojně používána díky jejich jednoduchosti a velmi vysoké přesnosti. Ovšem takováto měřidla se hodí jen pro ruční odečítání, jelikož je nelze nijak zautomatizovat.

1.6.1 Piezoelektrické senzory

Jednou z možností, jak vyrobit elektronický senzor na měření tlaku, je využít piezoelektrického jevu. Tento jev se vyskytuje nejčastěji v krystalech křemíku, kde při působení síly (v tomto případě atmosférického tlaku) je díky mírné deformaci krystalu vygenerováno velice malé napětí, které úměrné aplikované síle. Toto napětí jsme schopni po adekvátním zesílení jednoduše změřit a pokud známe strukturu použitého krystalu, tak i zpětně přepočítat na původní působící tlak.



Obr. 1.3: MEMS kapacitní senzor tlaku [3].

1.6.2 MEMS senzory

V dnešní době jsou velice rozšířené tzv. MEMS senzory. Jsou založeny na principu spojení mikro-mechanického principu s elektrickým principem. Nejčastěji je pro měření tlaku při tomto principu využíváno vlastností kondenzátorů či piezoelektrického efektu.

Při využití principu kondenzátoru je jedna z elektrod pevně spojená s pouzdrem, a následně je druhá elektroda upevněna nad tuto první, tím vznikne kondenzátor, jak je vidět na obrázku 1.3. Druhá elektroda je mechanicky vyrobena tak, aby měla přístup k okolnímu prostoru a mohlo na ni tudíž působit okolní atmosférický tlak. Díky jeho působení se začne prohýbat a přibližovat druhé elektrodě, čímž se mění celková kapacita tohoto kondenzátoru a tu jsme schopni následně měřit a na jejím základě určit působící atmosférický tlak.

1.7 Měření vzdušné vlhkosti

Vzdušná vlhkost je přítomná všude okolo nás, a je definována jako množství nasycení vzduchu vodními parami. Sledovat tuto veličinu je důležité jednak pro člověka, ale i kvůli elektronice a jiným strojům. Pokud si vezmeme teplotu $0\text{ }^{\circ}\text{C}$ a malou vlhkost, bude to pro nás mnohem příjemnější, než stejná teplota a vlhkost téměř 100 %. Pro elektroniku a stroje je poté vlhkost důležitá kvůli jejímu správnému fungování, případně můžou při vysoké vlhkosti začít vodní páry kondenzovat a způsobit zkrat či při dlouhodobém působení výrazně urychlit oxidaci materiálů.

Její měření se většinou realizuje pomocí součástek založených na principu kondenzátorů. Taková součástka má dvě pevné elektrody, na kterých jsme schopni měřit napětí a také dielektrikum, které je realizováno pomocí mateřálu, který je schopen absorbovat molekuly vody. Tímto způsobem jsme tedy schopni ovlivnit výslednou kapacitu daného kondenzátoru. Při nasycení dielektrika vodními parami se změní

kapacita, což jsme schopni změřit a vyhodnocovat. Toto nasycení je poté úměrné vodním parám obsaženým v měřeném prostředí. Běžně se jako dielektrikum používají plasty či polymery s dielektrickou konstantou 2 až 15.

1.8 IoT sítě

IoT (Internet of Things) sítě jsou uzpůsobeny pro přenos relativně krátkých datových zpráv na velmi velké vzdálenosti a to vše při zachování nízké spotřeby. Dosah je většinou určen podle nosného kmitočtu, na kterém přenos funguje, podle dostupné šířky pásma pro nás přenos a také vhodné zvolenou modulací. Tyto sítě se většinou nazývají jedním sdruženým pojmem LPWAN (Low Power Wide Area Network). Do této kategorie se řadí technologie LoRa, Sigfox a NB-IoT. První dvě zmíněné pracují v bezlicenčním pásmu, kdežto poslední využívá licenční pásmo. Bezlicenční pásmata jsou u nás regulovány ČTÚ¹ a jejich omezení zpravidla spočívá v maximálním vyzářeném výkonu a také klíčovacím poměru, ten určuje, jaké maximální procento daného času smíme použít pro vysílání. V následujících částech práce se budu věnovat jednotlivým sítím podrobněji.

1.8.1 LoRa

LoRa (Long Range) je fyzická vrstva, kterou využívá síť LoRaWAN a jak již bylo zmíněno, je určena pro provoz v bezlicenčním ISM pásmu 868 MHz. Tato vrstva samotná je využitelná pro komunikaci mezi dvěma zařízeními bez existence jakékoli sítě. Mnohem častěji ale narazíme na zapojení všech komunikujících zařízení do jednotné sítě, která všechna zařízení sdružuje a umožňuje tak pokrytí mnohem většího území. LoRa využívá CSS modulaci (Chirp Spread Spectrum), která umožňuje zvýšení dosahu oproti například FSK modulaci. Využívá se rozprostřeného pásmata pro šíření signálu, což jej činí odolným proti rušení. Protože je využito těchto rozprostřených frekvencí, tak je signál i odolný vůči vícecestnému šíření. Na obrázku 1.4 je vidět příklad průběhu amplitudy rozloženého spektra v závislosti na čase.

1.8.2 LoRaWAN

LoRaWAN definuje princip komunikační sítě a také použitý protokol, pro svou komunikaci využívá již více zmíněnou fyzickou vrstvu LoRa. Nejčastěji se využívá zapojení sítě do hvězdy, což umožňuje jednoduše škálovat dostupnost sítě. Pro běh sítě je třeba server, který bude zpracovávat všechny příchozí zprávy a následně na ně reagovat, dále jsou třeba jednotlivé tzv. gateway, což jsou zařízení, na které se

¹Český telekomunikační úřad <https://www.ctu.cz/>



Obr. 1.4: Ukázka průběhu rozprostřeného spektra v čase.

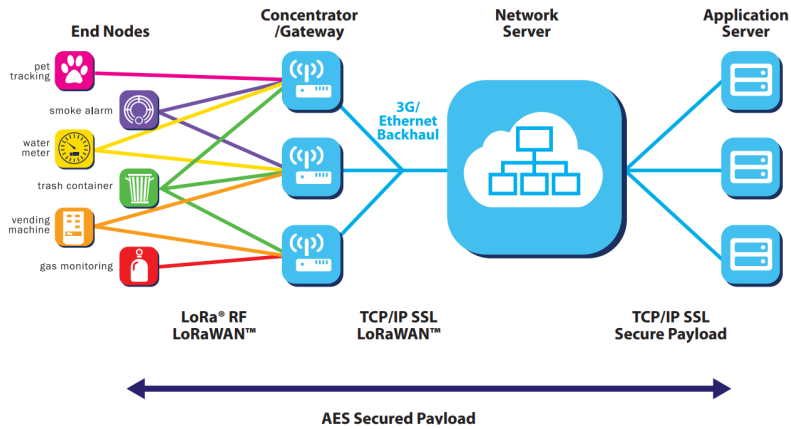
připojují koncoví klienti (naše IoT zařízení). Ná obrázku 1.5 je vidět příklad zapojení takovéto sítě. Je patrné, že koncová zařízení nemají pevně přiřazenou gateway na kterou se mají připojit, ale vysílají signál, který následně může přjmout libovolný počet těchto bran. Server, který tyto přijaté zprávy zpracovává, tak musí filtrovat případné duplicitně přijaté zprávy. Tím, že zařízení vysílá zprávu "do neznáma" a nemusí řešit přihlašování k přístupovému bodu, případně do sítě, tak se tím zkracuje doba potřebná k vysílání a vede to k další úspoře energie.

V dnešní době je cílem dál tím víc nutné zajistit bezpečnost takto přenášených zpráv. U LoRaWAN je využit šifrovací algoritmus AES, kdy je po celou dobu přenosu zprávy od koncového zařízení až na aplikaci server, který data zpracovává, jím zpráva zašifrována.

Pro připojení zařízení lze využít existující komerčně nabízené sítě od např. Českých Radiokomunikací² nebo open source sítě provozované komunitou, kde nejznámější je TTN (The Things Network)³. I v této komunitní síti však platí omezení, pokud chceme síť využívat zdarma. Jsme limitováni na maximální vysílací čas 30 s pro uplink a maximálně 10 zpráv na downlink pro jednu node (zařízení) na den [4]. Hlavný výhodou však je možnost přidat vlastní gateway a poskytovat tak připojení nejen pro sebe, ale i pro ostatní uživatele v okolí.

²<https://www.cra.cz/pripojeni-k-iot-siti-lorawan>

³<https://www.thethingsnetwork.org/>



Obr. 1.5: Typické zapojení LoRaWAN sítě [5].

1.8.3 Sigfox

Síť Sigfox pochází z Francie a je docela podobná technologii LoRaWAN. Je opět určená pro malý přenos dat ze sledovaných zařízení skrze nelicencované frekvenční pásmo. Oproti LoRaWAN má ovšem nevýhody a to, že je třeba za přenos zpráv platit poskytovateli a provozovateli sítě. Síť totiž u nás spravuje jediný poskytovatel, ke kterému se musíme zaregistrovat a on nám poté poskytne připojení a přenos zpráv skrze jeho síť. Výhoda tohoto řešení může být v mnohem větším pokrytí daného území a odpadnutí nutnosti řešit vlastní gateway či server na zpracování přijatých dat.

Přenos u nás probíhá v pásmu 868 MHz se šírkou spektra 192 kHz, kde každý kanál má přiřazenou šířku 100 Hz. Vysílání zpráv probíhá na třech kanálech s drobným časovým odstupem, čímž se zvyšuje šance na zachycení takto vyslané zprávy. Pokrytí na našem území je zajištěno ve spojení s operátorem T-Mobile, čímž dosáhli umístění gateway na strategická místa. Dle jejich webových stránek uvádí pokrytí území ČR 94 % [6].

1.8.4 NB-IoT

Síť NB-IoT je LPWAN síť, kde její standardy definuje partnerský projekt 3GPP[7]. I u tohoto typu sítě je opět snaha minimalizovat velikost posílaných zpráv, mít co největší dosah a to vše za udržení minimálních energetických nároků. Díky tomu, že lze síť provozovat na již existující infrastruktuře LTE vysílačů, je zde možnost velmi rychlé implementace a její nasazení na velké oblasti, stačí totiž softwarová aktualizace vysílačů. U nás tuto síť provozuje mobilní operátor Vodafone právě v pásmu LTE. Síť NB-IoT využívá pouze 200 kHz pásmo a tak může existovat vedle již existujících sítích pro mobilní telefony. V důsledku použití licencovaného pásmo nejsme

omezení na vysílací čas a také je možné vysílat mírně vyšším výkonem, než v bezlicenčním pásmu ISM. Je však nutné mít podporovaný modul od operátora a vlastnit jeho SIM kartu pro připojení do sítě. Bohužel momentálně není možné získat tyto SIM karty pro nekomerční využití, nabízí je totiž jen firemním zákazníkům.

Do budoucna mají tyto sítě velký potenciál právě díky jejich rychlému nasazení a využití stávajících sítí. Jsou energeticky méně náročné než mobilní datové komunikace přes GSM či LTE avšak dosahují relativně velkých rychlostí až stovky kbit s^{-1} .

1.8.5 WiFi

Jednou z možných sítí pro připojení zařízení a přenášení dat na server je i WiFi síť. Nedá se zde mluvit o plnohodnotné síti pro IoT, jelikož není pro tyto účely primárně určená, ale v případě její dostupnosti je možnost ji využít. Zařízení se připojuje jako klient k přístupovému bodu a po úvodní komunikaci a přidělení IP adresy je možné se připojit na zpracovávatelský server a zasílat data.

Hlavní nevýhodou této sítě je vysoká energetická náročnost, právě díky výše zmíněné nutnosti získání IP adresy a velkému množství přenášených dat. Další z relativně velkých nevýhod je malý dosah při pokrývání. Využití této sítě pro IoT zařízení má smysl pouze v již pokryté oblasti jako jsou například budovy či domácnosti.

2 Návrh zařízení

Tato kapitola se bude zabývat návrhem hardwaru celého zařízení. Jedním z hlavních požadavků je nízká spotřeba, kterou bude třeba zohlednit při vybírání použitých senzorů, řídícího mikroprocesoru, komunikačního modulu a ostatních obvodových komponent.

2.1 Výběr senzorů

Celé zařízení bude schopno měřit koncentraci prachových částic, koncentraci oxidu uhelnatého, intenzitu osvětlení, intenzitu UV záření, teplotu, atmosférický tlak a relativní vlhkost. V následujících částech tedy bude popsán výběr z dostupných senzorů.

2.1.1 Senzor koncentrace prachových částic

Na trhu je dostupných hned několik senzorů na měření koncentrace prachových částic. Jak již bylo zmíněno v teoretickém úvodu, budu vybírat senzor, který tuto koncentraci určuje na základě osvícení daného vzorku vzduchu a následně měření odraženého světla. Nyní vyvstává otázka, jestli zvolit senzor, který bude vzorek vzduchu vhánět do měřícího prostoru nuceně pomocí ventilátoru nebo jen za využití stoupání teplého vzduchu nahoru. V tabulce 2.1 jsou uvedeny senzory, které jsou relativně cenově přijatelné, a daly by se pro neprofesionální měření využít.

Tab. 2.1: Porovnání vybraných parametrů senzorů koncentrace prachových částic

| Název | Rozlišení | Přesnost | Proud | Čas čtení |
|------------------|--|---|--------|-----------|
| PMS5003[8] | $1 \mu\text{g m}^{-3}$ | $0 - 100 \mu\text{g m}^{-3}: \pm 10 \mu\text{g}$ $100 - 500 \mu\text{g m}^{-3}: \pm 10 \%$ | 100 mA | 10 s |
| PM1003[1] | $1 \mu\text{g m}^{-3}$ | $0 - 100 \mu\text{g m}^{-3}: \pm 30 \mu\text{g}$ $100 - 500 \mu\text{g m}^{-3}: \pm 30 \%$ | 90 mA | 30 s |
| PM1006[9] | neuvedeno | $0 - 100 \mu\text{g m}^{-3}: \pm 20 \mu\text{g}$ $100 - 500 \mu\text{g m}^{-3}: \pm 20 \%$ | 30 mA | 8 s |
| GP2Y1010AU0F[10] | $0,5 \text{ V}/100 \mu\text{g m}^{-3}$ | záleží na ADC | 20 mA | 1 s |

Po pečlivém prostudování jednotlivých parametrů jsem zvolil senzor PMS5003 od firmy PLANTOWER. Důležitým aspektem při výběru byla také cena tohoto senzoru, v době vypracovávání této práce jej šlo pořídit za zhruba 350 Kč. Dalším důležitým parametrem byla spotřeba proudu v aktivním stavu, na první pohled se může zdát, že oproti všem senzorům má spotřebu nejvyšší. Oproti PM1003 má však



Obr. 2.1: Senzor pro měření koncentrace prachových částic PMS5003 [8].

třetinový čas potřebný k získání měřených dat, takže spotřebovává sice vyšší proud, ale po kratší časový úsek. PM1006 má spotřebu proudu zhruba třetinovou, ale vzorek měřeného vzduchu se do měřícího prostoru dostává pomocí sálání a tak je nutné zajistit konstrukčně dostatečně a správně dimenzované průduchy a také konstantní polohu a hlavně náklon senzoru, což by mohlo být v praxi téměř nemožné, pokud má být zařízení používáno také ve volném prostranství. Poslední ze senzorů v tabulce 2.1 má zdánlivě nejlepší výsledky. Bohužel se jedná pouze o měřící modul samotný, který neobsahuje žádný ventilátor ani řídící logiku, je tedy třeba tyto věci zapojit a konstrukčně vyřešit. Nejjednodušší na obvodové zapojení, a i z hlediska parametrů přesnosti nejlepší, se tak jeví již zmíněný senzor PMS5003. Senzor potřebuje pro svou funkci napájení 5 V, a komunikuje přes rozhraní UART.

2.1.2 Senzor oxidu uhelnatého

U senzorů oxidu uhelnatého je situace o něco složitější. Na trhu neexistuje mnoho možností, ze kterých by se dalo v rozumné cenové kategorii vybírat. Pokud se podíváme do katalogů většiny (nejen českých) obchodů, zjistíme, že ceny čidel se pohybují ve vyšších stovkách korun až po několik tisíc. Tato cena je pro neprofesionální měření nepřijatelná. Jediným možným rozumným výběrem jsou čidla s označením série MQ od výrobce Hanwei electronics¹. Vybral jsem tedy čidlo s označením MQ-7, které je nejvíce citlivé právě na oxid uhelnatý. Funguje na principu ohřevu senzitivní vrstvy (zde konkrétně z materiálu SnO_2) a následně měření jejího odporu. Senzor

¹<https://www.hwsensor.com/>



Obr. 2.2: Senzor pro měření koncentrace oxidu uhelnatého [11].

je třeba napájet z 5 V a jeho výstup je třeba přivést na AD převodník, jelikož má analogový výstup.

2.1.3 Senzor UV záření

Na poli relativně levných UV senzorů je výběr opět o něco horší. Existují v podstatě dvě varianty použitelné pro neprofesionální měření a to senzor VEML6075 od výrobce VISHAY a senzor ML8511 výrobce LAMIS Semiconductor. Bohužel první ze zmíněných senzorů se nedá rozumně sehnat, skladové zásoby jsou vyprodané a několik obchodů udává, že se již nevyrábí.

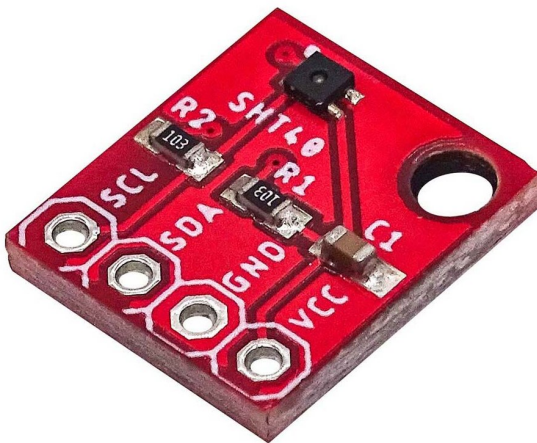
Volím tedy druhý zmíněný senzor ML8511. Tento senzor měří pouze intenzitu UV záření pomocí fotodiody, která je citlivá na UVA a UVB záření. Její největší citlivost je dle katalogového listu [12] na vlnovou délku 365 nm. Pro svou činnost potřebuje napájení 3,3 V a během měření je jeho maximální spotřeba 500 μ A. Pokud jej uvedeme pomocí pinu EN do režimu standby, tak může být spotřeba maximálně 1 μ A. Výstup senzoru je opět napěťový, takže musíme jeho výstup přivést na AD převodník. Rozsah těchto napětí je zhruba od 1 V do 3 V, což odpovídá rozsahu 0 až 15 mW cm^{-2}

2.1.4 Senzor teploty

Na poli senzorů pro měření teploty existuje nepřeberné množství různých druhů od spousty výrobců. Pro první základní výběr vhodných senzorů je nutné si definovat

Tab. 2.2: Srovnání parametrů vybraných senzorů teploty.

| Název | Rozsah | Přesnost | Spotřeba | Cena |
|-------------|-----------------|----------|----------|--------|
| DS18B20[13] | -55 °C - 125 °C | ±0,5 °C | 1,5 mA | 68 Kč |
| LM75A[14] | -25 °C - 100 °C | ±2 °C | 280 µA | 25 Kč |
| SHT31[15] | -40 °C - 90 °C | ±0,3 °C | 350 µA | 158 Kč |
| SHT35[16] | -40 °C - 90 °C | ±0,2 °C | 1,5 mA | 378 Kč |
| SHT40[17] | -40 °C - 125 °C | ±0,2 °C | 350 µA | 109 Kč |



Obr. 2.3: Senzor pro měření teploty SHT40 [18].

alespoň základní parametry a požadavky na takovýto senzor. Vhodnými parametry jsou cena, rozsah měřených teplot (je třeba měřit i při teplotách nižších než 0 °C), spotřeba a přesnost. Srovnání potenciálně použitelných senzorů se nachází v tabulce 2.2. Cena uvedená v posledním sloupci je brána v jeden den z jednoho e-shopu², aby bylo možné objektivně porovnat výsledky mezi sebou.

Z tabulky 2.2 jsem nakonec pro svou práci vybral senzor SHT40 od výrobce SENSIRION. Bohužel není úplně nejlevnější, ale vybral jsem jej díky jeho nízké spotřebě 350 µA při měření a až 3,4 µA v nečinném stavu a také relativně vysoké přesnosti, která je až 0,2 °C. Napájení senzoru je 3,3 V. S mikroprocesorem senzor komunikuje pomocí sběrnice I²C.

2.1.5 Senzor intenzity osvětlení

Na poli senzorů pro měření intenzity osvětlení existuje hned několik dostupných variant. Liší se převážně způsobem, jakým intenzitu měří a pak také rozsahem, pro

²<https://www.laskarduino.cz/>

které je možné jejich použití. Pro orientační měření lze využít i prostého fotorezistoru, který zapojíme společně s odporem do série a vytvoříme si tak napěťový dělič, na kterém budeme měřiti pomocí AD převodníku analogové napětí. Tento typ měření je však silně závislý na použitému typu fotorezistoru a většinou nebývá moc přesné. Využití této metody je spíše pro účely orientačního měření a určení základních informací a to, jestli je tma či jestli je světlo.

Dalším z možných typů senzorů je využití fototranzistoru nebo fotodiody. Toto měření je přesnější než předchozí zmíněná metoda, ale vyžaduje znalost přechodové charakteristiky součástky a pro přesnější měření i kalibraci vůči známé referenční hodnotě intenzity osvětlení.

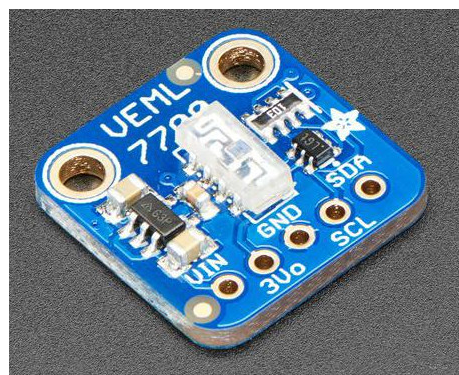
Mnohem vhodnějším typem senzorů pro toto konkrétní použití je tak integrovaný senzor, který obsahuje jednak samotnou na světlo citlivou vrstvu a druhak i řídící logiku, která nám poskytuje digitální výstup ze senzoru například ve formě sériové sběrnice.

V tabulce 2.3 jsou uvedeny vybrané druhy integrovaných senzorů a jejich základní vlastnosti.

Tab. 2.3: Srovnání parametrů vybraných senzorů intenzity osvětlení.

| Název | Rozsah | Spotřeba |
|-------------------|--------------|-------------|
| GY-302 BH1750[19] | 0-65 535 lx | 200 μ A |
| TSL2561[20] | 0-40 000 lx | 0,6 mA |
| VEML7700[21] | 0-120 000 lx | 50 μ A |

Z těchto vybraných dostupných senzorů jsem zvolil poslední z tabulky VEML7700. Tento senzor má velmi nízkou spotřebu i při nejrychlejším cyklu čtení (100 ms) a největší rozsah možného měření. Při porovnání cen se nachází zhruba ve stejně cenové hladině jako druhý nejlepší z této tabulky GY-302 BH1750. S mikrokontrolerem senzor bude komunikovat pomocí sběrnice I²C a napájen bude z 3,3 V.



Obr. 2.4: Senzor pro měření intenzity osvětlení VEML7700 [22].

2.1.6 Senzor atmosférického tlaku

Posledním z potřebných senzorů je senzor pro měření atmosférického tlaku. Existuje několik senzorů, které integrují do jednoho pouzdra měření teploty, vlhkosti i atmosférického tlaku. Tyto senzory se však vyznačují nižší přesností. Jedním z takovýchto senzorů je například BME280 od výrobce Bosch, který je populární mezi kutily při stavění amatérské domácí meteostanice. Bohužel poslední dobou není dostupný skladem v žádném z velkých obchodů a pokud se někde vyskytne, stojí několikanásobek jeho normální ceny a je tak pro tuto práci nepoužitelný.

Budu tedy porovnávat senzory, které měří pouze atmosférický tlak a jsou dostupné a mají relativně nízkou cenu.

Tab. 2.4: Srovnání parametrů vybraných senzorů atmosférického tlaku.

| Název | Rozsah | Přesnost | Spotřeba |
|---------------|--------------|--------------|--------------|
| BMP180[23] | 300-1100 hPa | ± 3 Pa | 12 μ A |
| BMP280[24] | 300-1100 hPa | $\pm 1,3$ Pa | 2,7 μ A |
| BMP388[25] | 300-1250 hPa | ± 8 Pa | 3,4 μ A |
| BME280[26] | 300-1100 hPa | ± 2 Pa | 7,1 μ A |
| ICP-10100[27] | 300-1150 hPa | $\pm 3,2$ Pa | 10,4 μ A |

Jak je uvedeno v tabulce 2.4, je vidět že většina senzorů atmosférického tlaku je od výrobce Bosch Sensortec. Vyskytuje se zde již zmínovaný BME280, který je ale moc drahý a momentálně nedostupný a při měření tlaku má jednu z vyšších spotřeb. Dalším ideálním adeptem by byl i senzor BMP280, který umožňuje měřit atmosférický tlak i teplotu. Bohužel ani tento senzor není příliš dostupný a dle oficiálních stránek výrobce již není doporučen pro nové návrhy.

Vybral jsem tedy senzor BMP388 od firmy Bosch Sensortec. Nepatří bohužel mezi nejlevnější, ale zato je dostupný v obchodech a poskytuje vzhledem ke své dostupnosti relativně dobré parametry samotného měření. Stejně jako dříve zmíněné senzory, i tento senzor umožňuje kromě atmosférického tlaku měřit i teplotu. Pro komunikaci s mikrokontrolerem lze použít sběrnici I²C nebo SPI, jelikož je většina vybraných senzorů na sběrnici I²C, použije stejnou sběrnici i pro tento senzor. Napájení je třeba přivést 3,3 V.

2.1.7 Senzor měření vlhkosti

Jak již bylo zmíněno v kapitole o výběru senzoru pro měření teploty, vybraný senzor SHT40 umožňuje měřit i vzdušnou vlhkost. Rozsah měření je 0-100 % relativní vlhkosti s přesností $\pm 1,8$ %. Pro potřeby měření relativní vzdušné vlhkosti v této práci jsou tyto parametry s přehledem dostatečné.

2.2 Výběr řídícího mikrokontroléru

Mikrokontroler je hlavním řídícím prvkem celého zařízení. Při jeho výběru je nutné dbát na spousty mnohdy protichůdných parametrů. Jedním z hlavních a nejdůležitějších parametrů jsou požadavky na hardwarové periferie a celkově výbavu daného mikrokontroleru. Jak již bylo popsáno v předchozích kapitolách této práce, je nutné všechny senzory připojit pomocí různých sběrnic či zajistit AD převodník pro připojení analogových výstupů ze senzorů. Také je třeba dbát na dostatečný počet vstupně-výstupních pinů.

V dnešní době má spousta mikrokontrolerů přímo v sobě integrovanou rádiovou část, takže jsou schopny se připojit např. na WiFi, komunikovat s ostatními zařízeními přes Bluetooth či posílat zprávy přes LoRa síť. Toto řešení zjednoduší návrh výsledného zařízení a také dokáže snížit výrobní náklady, jelikož je vše obsaženo v jednom čipu a není třeba osazovat několik samostatných čipů. Zároveň snižuje pravděpodobnost chybného návrhu nebo eliminuje další možný zdroj poruch, jelikož každý další použitý čip na desce a spojení k němu je možným zdrojem problémů.

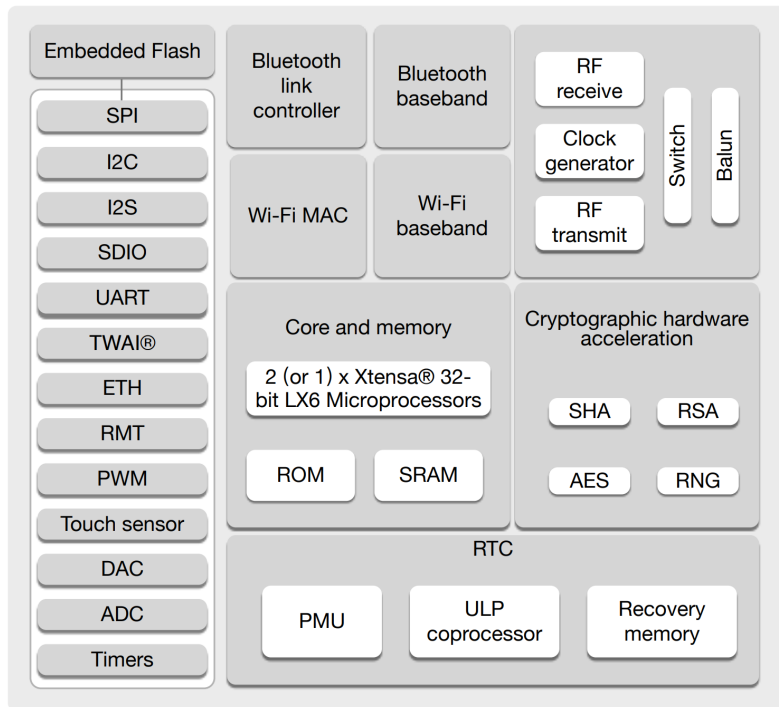
Pro výběr v této práci budu uvažovat výběr mikrokontrolerů od největších výrobců jako jsou STMicroelectronics, Atmel (dnes Microchip) nebo Espressif Systems. Existuje samozřejmě spousta dalších výrobců, ale tihle uvedení jsou jedni z největších, nejznámějších a nejdostupnějších. Porovnání ceny v tabulce 2.5 je provedeno v jeden den z jednoho obchodu³ pro možnost objektivního posouzení. Do tabulky pro srovnání jsem vybral pouze nejdůležitější parametry daných mikrokontrolerů jako jsou hardwarové periferie pro sběrnice, počet GPIO (vstupně-výstupních pinů), přítomnost WiFi rozhraní a cenu.

Tab. 2.5: Srovnání parametrů vybraných mikrokontrolerů.

| Název | I ² C | SPI | GPIO | USART | WiFi | Cena |
|--------------------|------------------|-----|------|-------|------|--------|
| ATmega328P [28] | 1 | 1 | 23 | 1 | Ne | 70 Kč |
| ESP32 WROOM [29] | 2 | 4 | 34 | 3 | Ano | 80 Kč |
| ATSAM4LC2 [30] | 2 | 1 | 27 | 3 | Ne | 90 Kč |
| STM8L162R8T6 [31] | 1 | 2 | 54 | 3 | Ne | 110 Kč |
| STM32L051C8T6 [32] | 2 | 2 | 37 | 2 | Ne | 180 Kč |

Z výše uvedené tabulky 2.5 jsem nakonec vybral mikrokontroler ESP32 WROOM od výrobce Espressif Systems. Z hlediska ceny není nejlevější, ale pokud se podíváme na parametry, které za tuhoto cenu nabízí, tak je to bezkonkurenční nabídka. Mikrokontroler samotný obsahuje kromě výše zmíněných parametrů i rádiovou část ve které je obsažena WiFi a Bluetooth, takže pro bezdrátové spojení není třeba použít

³<https://www.tme.eu/cz/>



Obr. 2.5: Blokový diagram mikrokontroleru ESP32 [29].

žádný další modul. Mikrokontroler běží až na frekvenci 240 MHz a obsahuje dvě jádra, takže je možné velmi rychle paralelně zpracovávat data. Mikrokontroler samotný je navržen pro IoT aplikace, takže je dbáno na velmi nízkou spotřebu při práci i v mnoha režimech spánku, které je možné aktivovat. Hlavní dvě jádra mikrokontroleru jsou doplněna o tzv. ULP (Ultra Low Power) koprosesor, který je možné aktivovat v režimu spánku a vykonávat tak velice jednoduché sekvence příkazů a ovládat například výstupní piny. Na obrázku 2.5 je vidět blokové schéma struktury mikroprocesoru ESP32 včetně všech jeho hardwarových periferií. Celý mikrokontroler je třeba napájet napětím 3,3 V a zdroj musí být schopen dodat alespoň 500 mA, tato hodnota je relativně vysoká, ale je to způsobeno potřebou vyššího příkonu při vysílání přes WiFi.

2.2.1 Analogově digitální převodník

Jak již bylo zmíněno v předchozích kapitolách o výběru senzorů, bude potřeba zajistit analogové vstupy na mikrokontroleru. Bohužel ESP32 nemá příliš přesný AD převodník a je třeba provádět poměrně náročnou kalibraci pro každý zakoupený čip zvlášť, jak je zmíněno přímo v oficiální dokumentaci⁴. Nelze provádět ani kalibraci

⁴<https://docs.espressif.com/projects/esp-idf/en/latest/esp32/api-reference/peripherals/adc.html>

na jednom daném vzorku pro danou výrobní sérii.

Kvůli těmto výše uvedeným důvodům jsem se rozhodl pro tuto práci využít externí AD převodník, čímž by se měla zvýšit přesnost měření a zajistit reprodukovatelné výsledky při použití jiného mikrokontroleru. Hlavním požadavkem na výběr tohoto převodníku byla cena, dostupnost a spotřeba. Pro tuto práci je zapotřebí převodník, který bude moci být napájen z 3,3 V a bude mít alespoň 2 vstupní kanály. Těmto požadavkům nejlépe vyhověl AD převodník MCP3202 od firmy Microchip Technology Inc.[33]. Obsahuje dva kanály s rozlišením 12 bitů. Připojení k mikrokontroleru je provedeno přes sběrnici SPI a maximální spotřeba při čtení je zhruba 320 μ A.

2.3 Přenos dat na server

Pro přenos naměřených dat na server je k dispozici celá řada možností, jak to provést. Jelikož budou data zpracovávána na serveru, který je dostupný přes síť internet, je třeba zajistit, aby se tam data dostala. Pro první pokusy bude nejjednodušší použití sítě WiFi, do které se se zařízením lze jednoduše připojit a poté se lze připojit na zpracovávatelský server. Toto řešení je ovšem nevhodné pro použití kdekoliv mimo obydlené oblasti či oblasti, kde máme pokrytí svou vlastní WiFi, protože se nelze spoléhat na to, že v daném místě potřeby bude nějaká např. veřejná síť. Další z nevýhod této technologie je její relativní energetická náročnost, jelikož je třeba vysílat na frekvenci 2,4 GHz a po připojení musí zařízení získat IP adresu, což nějakou dobu trvá a poté může teprve probíhat komunikace. Jelikož však síť internetu a její protokoly nejsou uzpůsobeny na redukci datového toku, je celý přenos výrazně delší než vyslání zprávy např. přes síť LoRaWAN, což má opět negativní dopad na spotřebu energie.

Z výše uvedených důvodů se hodí využití jiné sítě, která je pro tato IoT zařízení přizpůsobená, je méně energeticky náročná a umožňuje připojení zařízení na řádově větší vzdálenosti. Jako nejjednodušší se jeví použití sítě LoRa. Pro tuto síť existuje na trhu mnoho komunikačních modulů, které jsou i relativně cenově přijatelné. Síť jako taková není zatížena licenčními poplatky, je však možnost využití již existující infrastruktury od nějaké firmy (u nás například České Radiokomunikace a.s.⁵) kde se poté platí poplatky za využívání připojení k jejich síti či případné další služby.

Pokud chceme připojit zařízení přes LoRaWAN, ale nechceme být zavázání poskytovateli služeb a platit poplatky, je možnost použít některou z dostupných sítí, které jsou zdarma. Většinou se zde vyskytují omezení např. v počtu přenesených zpráv za daný čas nebo počet připojených zařízení. Jednou z nejznámějších sítí je

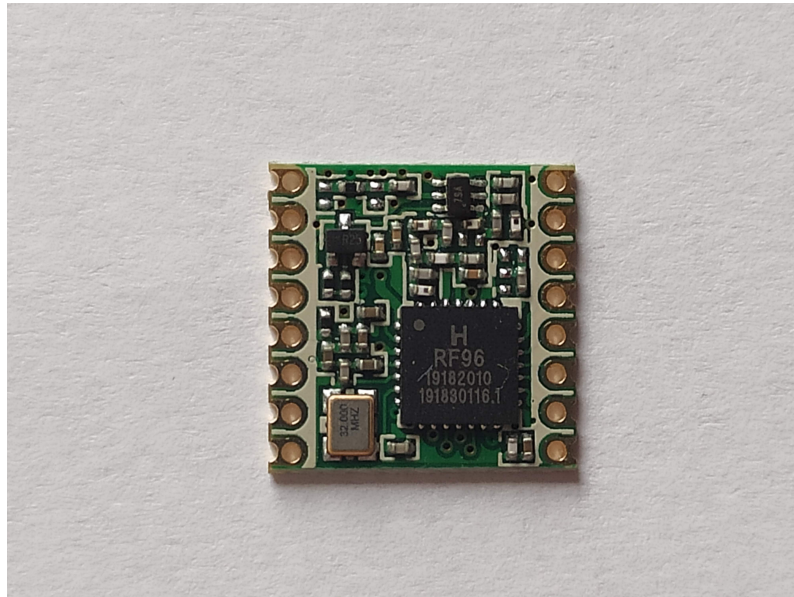
⁵<https://www.cra.cz/pripojeni-k-iot-siti-lorawan>

TTN (The Things Network⁶). Princip této sítě je postaven na infrastruktuře, kterou do sítě připojují samotní uživatelé a tato služba je koncentruje na jeden server. Uživatelé tak mají možnost připojovat svoje vlastní gateway a poté libovolně v dosahu jakékoli jiné gateway připojené do sítě přenášet data ze svých zařízení.

2.3.1 Výběr LoRa modulu

Pro výběr LoRa modulu bude nejdůležitějším parametrem cena a dostupnost. Na našem území je dle ČTÚ a její národní kmitočtové tabulky[34] povoleno provozovat LoRa zařízení v ISM pásmu 868 MHz. Toto je také třeba zohlednit při výběru vhodného modulu. Dalším z kritérií byla dostupnost kvalitní dokumentace a také jestli existují příklady k použití daného modulu.

Daným kritériím bezesporu vyhověl modul s označením RFM95W [35], založený na čipu RF96. Jak již bylo zmíněno, modul pracuje na frekvenci 868 MHz a nejvyšší možný výkon vysílače je 20 dBm. Modul pro své fungování potřebuje napájení 3,3 V a při běžném vysílání výkonem 7 dBm a dokonale přizpůsobené anténě na impedanci 50Ω je jeho spotřeba 20 mA. Pro připojení k mikrokontroleru je zapotřebí sběrnice SPI a alespoň 1 GPIO (ideálně s podporou přerušení), jelikož modul umožňuje při přijetí dat ze sítě změnit logickou hodnotu na tomto pinu a tím dát hlavnímu mikrokontroleru vědět, že má přijatá data přečíst a zpracovat.



Obr. 2.6: LoRa modul RFM95W.

⁶<https://www.thethingsnetwork.org/>

2.4 Napájení zařízení

První verze tohoto zařízení bude napájena z 5 V a bude tak možné využít např. mobilní nabíječky či powerbanky. Výhodou tohoto řešení je zaručený zdroj napětí 5 V a odpadá také nutnost například hlídání stavu baterií nebo řízení jejich nabíjení. V budoucích verzích ovšem chci zařízení napájet právě z baterií, aby odpadla nutnost mít k dispozici elektrickou rozvodnou síť a aby zařízení bylo použitelné kdekoli.

Celé zařízení ke své funkci tedy potřebuje napětí 5 V a 3,3 V. První ze zmíněných napětí bude bráno přímo ze zdroje (nabíječka nebo powerbanka) a není třeba se o něj více starat, jelikož tyto zařízení mají integrované různé druhy ochran (přepětí, nadproudová aj.). Je tedy třeba zajistit napájecí zdroj poskytující napětí 3,3 V. Pro tyto účely bude třeba použít tzv. step-down měnič. Jelikož bude použit také externí AD převodník, je vhodné mu zajistit napájecí napětí, které nebude zatíženo zvlněním či jinými neduhy danými spínaným měničem. Z tohoto důvodu bude pro jeho napájení použit lineární stabilizátor. Protože je však rozdíl mezi vstupním napětím (5 V) a potřebným výstupním napětím (3,3 V) nižší než 2 V, je třeba použít tzv. LDO (Low Dropout) lineární stabilizátor.

2.4.1 Výběr step-down měniče

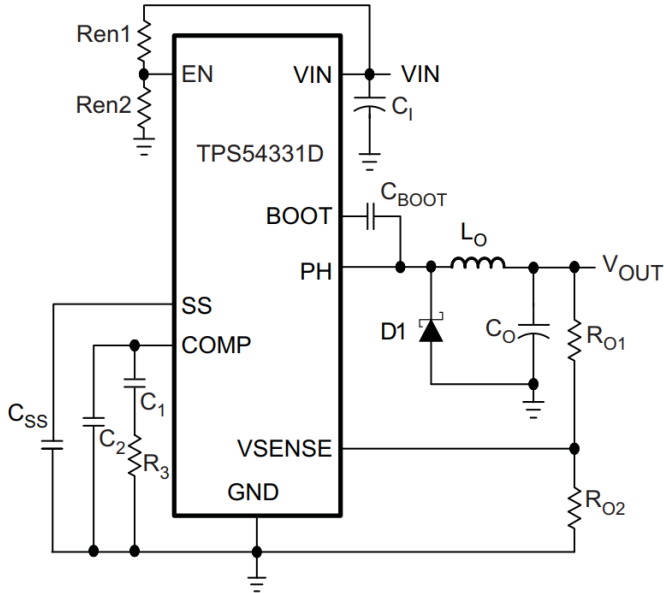
Step-down měničů existují na trhu stovky různých druhů od všemožných výrobců. Výběr je tedy nutné provést převážně na základě potřebných parametrů jako jsou vstupní napětí, výstupní napětí a potřebný dodávaný proud. Jelikož je celé zařízení koncipováno jako nízkopříkonové, je vhodné podívat se také na výrobcem udávaný proud potřebný pro provoz samotného měniče. Nejdůležitějším parametrem je bohužel v dnešní době dostupnost daného měniče a také jeho cena.

Já jsem pro svou práci vybral step-down měnič TPS54331 od výrobce Texas Instruments Incorporated[36]. Tento měnič lze používat až do vstupního napětí 28 V a odebírat z něj výstupní proud 3 A. Díky tomu, že měnič obsahuje výkonový spínací tranzistor, tak není potřeba příliš mnoho externích součástek. Na obrázku 2.7 je vidět zjednodušené zapojení tohoto měniče.

Návrh hodnot součástek step-down měniče

Při návrhu součástek budu vycházet z katalogového listu poskytnutého výrobcem [36]. Prvním z potřebných kroků je zvolení odporů do napěťového děliče tvorícího zpětnou vazbu, která zajišťuje nastavení výstupního napětí. Jejich hodnotu spočítám z rovnice 2.1.

$$R_{O2} = \frac{R_{O1} \cdot V_{ref}}{V_{out} - V_{ref}} \quad (2.1)$$



Obr. 2.7: Zjednodušené schéma zapojení měniče TPS54331 [36].

Kde známe hodnoty $V_{ref} = 0,8\text{ V}$ a hodnotu požadovaného výstupního napětí $V_{out} = 3,3\text{ V}$. Z toho vyplývá, že máme dva neznámé odpory a musíme jeden z nich zvolit. Já si volím například $R_{O1} = 15\text{ k}\Omega$ a poté dopočítám R_{O2} jako:

$$R_{O2} = \frac{R_{O1} \cdot V_{ref}}{V_{out} - V_{ref}} = \frac{15000 \cdot 0,8}{3,3 - 0,8} = 4800\text{ }\Omega \quad (2.2)$$

Tento odpor bohužel není ve standardní řadě odporů, proto jsem jej zaokrouhlil na nejbližší hodnotu $R_{O2} = 4,7\text{ k}\Omega$, v tomto případě bude výstupní napětí $V_{out} = 3,35\text{ V}$, což je naprostě přijatelné, alespoň bude menší rezerva při poklesu napětí se skokovou změnou zátěže.

Další z potřebných volených součástek jsou vstupní filtrační kondenzátory, ve schématu na obrázku 2.7 označovány jako $C1$. Dle katalogového listu je vhodné zvolit hodnotu okolo $10\text{ }\mu\text{F}$. Já zvolím $2 \times 4,7\text{ }\mu\text{F}$ keramický kondenzátor z dielektrika X5R na napětí 16 V a k těmto dvěma ještě jeden 10 nF pro potlačení vysokofrekvenčního rušení.

Poslední z hlavních počítaných součástek step-down měniče je výstupní LC filtr. Hlavní součástkou tohoto filtru je cívka, která musí mít správnou velikost indukčnosti i z pohledu fungování měniče a také musí být dostatečně proudově dimenzovaná podle odebíraného výstupního proudu. Minimální hodnota indukčnosti se spočítá z rovnice 2.3 kde $V_{OUT(max)} = V_{OUT} = 3,3\text{ V}$, $V_{IN(max)} = 5\text{ V}$, $I_{OUT} = 1,5\text{ A}$ a $f_{SW} = 570\text{ kHz}$. Dále je zde přítomen parametr K_{IND} , který se volí podle druhu použitých výstupních kondenzátorů. Já budu mít keramické kondenzátory a ty mají nízké ESR, takže mohu tento parametr volit jako $K_{IND} = 0.3$.

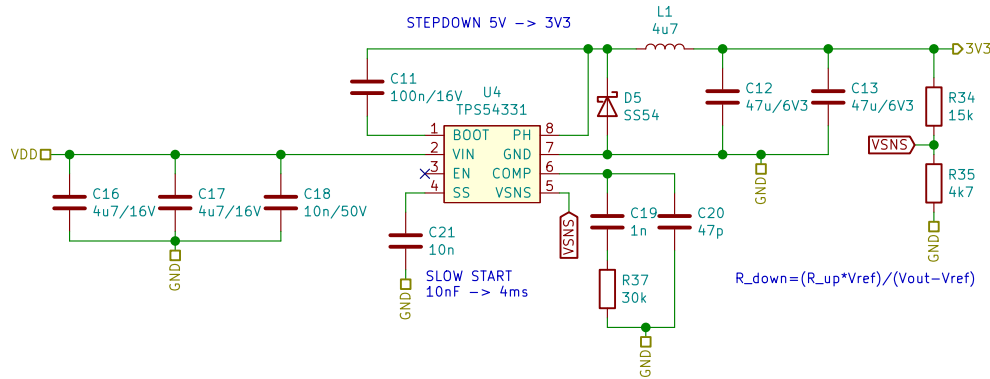
$$L_{MIN} = \frac{V_{OUT(max)} \cdot (V_{IN(max)} - V_{OUT})}{V_{IN(max)} \cdot K_{IND} \cdot I_{OUT} \cdot f_{SW}} = \frac{3.3 \cdot (5 - 3.3)}{5 \cdot 0.3 \cdot 1.5 \cdot 570000} = 4,37 \mu\text{H} \quad (2.3)$$

Tato vypočítaná hodnota je minimální a je třeba zvolit alespoň nejbližší vyšší běžně dostupnou hodnotu, takže výsledná hodnota indukčnosti cívky bude $L = 4,7 \mu\text{H}$.

Hodnotu výstupních filtračních kondenzátorů jsem zvolil podle tabulky 1 v katalogovém listu [36] a vychází nám z toho 2x $47 \mu\text{F}$. Z této stejné tabulky jsem určil také hodnoty součástek kompenzační smyčky $C1, C2$ a $R3$.

Nedílnou součástí měniče je dioda na výstupu $D1$, kterou je třeba dostatečně proudově a napěťově dimenzovat. Je vhodné také zvolit diodu, která má nízký úbytek napětí (Schottkyho dioda). Já jsem zvolil diodu s označením SS54 od výrobce Microdiode Electronics. Maximální napětí na této diodě je 40 V, maximální procházející proud je 5 A a úbytek na této diodě je 550 mV.

Výsledné zapojení tohoto měniče je vidět na obrázku 2.8.



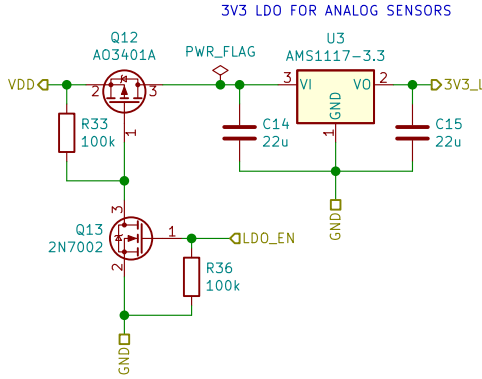
Obr. 2.8: Schéma zapojení step-down měniče.

2.4.2 Výběr lineárního stabilizátoru

Jak již bylo zmíněno v předchozích kapitolách, pro napájení AD převodníku bude třeba vybrat lineární stabilizátor s malým úbytkem napětí, tzv. LDO. Bohužel nikde neexistuje přesná definice, co je LDO stabilizátor a co už ne, je třeba toto označení brát lehce s rezervou. V praxi se tak obvykle označují stabilizátory s úbytkem napětí zhruba do 2 V.

Já jsem pro tuto práci vybral stabilizátor od výrobce Advanced Monolithic Systems AMS1117 [37] ve variantě s pevně nastaveným výstupním napětím na 3,3 V. Stabilizátor jako takový nepotřebuje pro svou funkci kromě filtračních kondenzátorů na vstupu a výstupu žádné další externí součástky. Podle katalogového listu výrobce

zaručuje rozptyl výstupního napětí maximálně $\pm 10 \text{ mV}$ a potlačení vstupního rušení o alespoň 60 dB, což je pro AD převodník žádaná vlastnost. Filtrační kondenzátory byly zvoleny podle doporučení výrobce $22 \mu\text{F}$ na vstupu i na výstupu v keramickém provedení. Kvůli úspoře energie bude možnost vypínat tento stabilizátor a tím i následně AD převodník. Výsledné schéma zapojení lineárního stabilizátoru je vidět na obrázku 2.9.



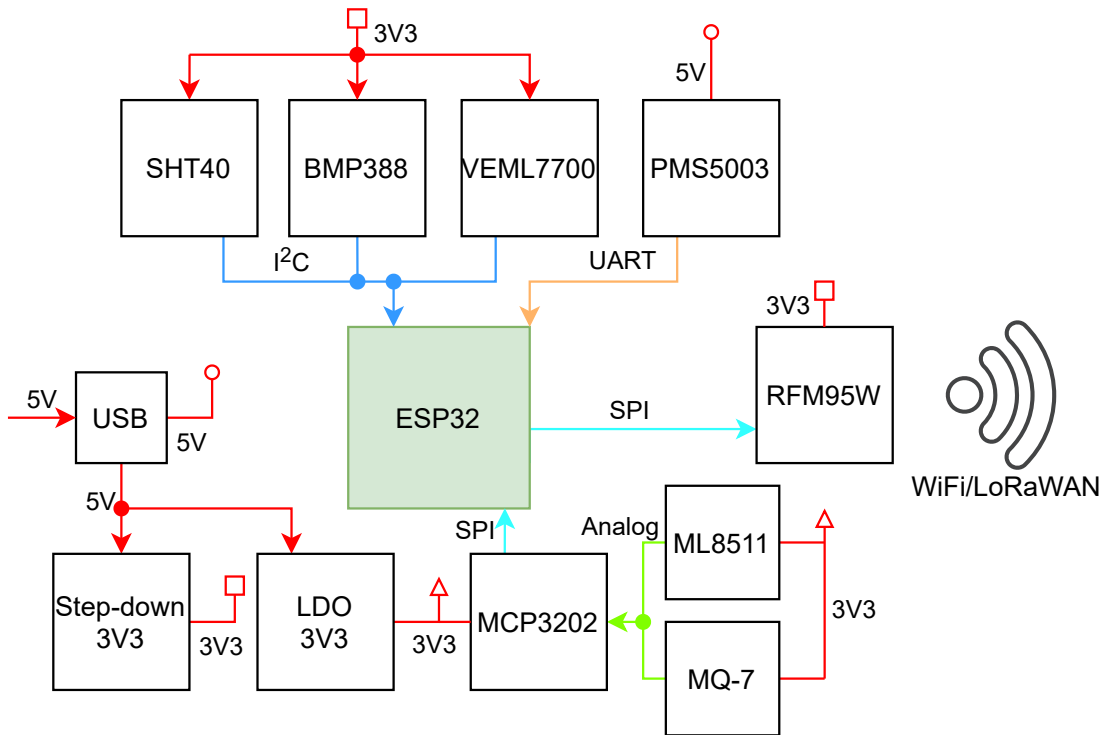
Obr. 2.9: Schéma zapojení lineárního stabilizátoru.

2.5 Výsledné zapojení zařízení

Na obrázku 2.10 můžeme vidět finální blokové schéma celého zařízení podle kterého bude třeba nakreslit schéma a následně navrhnut desku plošných spojů. Celé zařízení bude doplněno kromě zmíněných senzorů a potřebných zdrojů také o například ochranu proti přepólování napájení. Dále bude deska na vstupu obsahovat obvody pro možnost zapnutí a vypnutí celé elektroniky přes tlačítka a také možnost vypnout zařízení pomocí mikrokontroleru. Pro možnost snazšího ladění obvodu budou také doplněny vypínatelné LED pro kontrolu přítomnosti jednotlivých napájecích napětí a jedna LED s tlačítkem pro možnost libovolného použití ve výsledné aplikaci.

2.5.1 Anténa pro LoRa modul

Pro tuto práci jsem se rozhodl v rámci potenciální minimalizace a také snížení ceny výsledného produktu využít možnosti integrovat anténu pro LoRa modul přímo na desku plošných spojů. Na internetu existuje mnoho různých návrhů tzv. elektricky malých antén. Já jsem vybral od firmy Texas Instruments jejich návrh antény s označením DN038 [38]. Jedná se o elektricky malou anténu navrženou pro frekvenci 868 MHz s velice kompaktními rozměry $12 \times 19 \text{ mm}$. Jedinou nevýhodou a zároveň nutností je její přizpůsobení. Vysílací modul RFM95W má koncový stupeň o impedanci 50Ω a tomu je třeba přizpůsobit i danou anténu. Pro tyto účely je zapotřebí



Obr. 2.10: Celkové blokové schéma navrhovaného zařízení.

na desku plošných spojů umístit přizpůsobovací obvody v podobě L nebo π článku. Jelikož chci, aby bylo možné využít v případě potřeby lepší externí antény, bude na desce možnost pomocí připájení 100 pF kondenzátoru výběru mezi integrovanou anténou nebo připojením externí přes SMA konektor.

3 Server pro zpracování naměřených dat

Důležitým rozhodnutím pro realizaci celého zařízení je vhodný výběr aplikací, ve kterých se budou naměřená data uchovávat a následně zpracovávat či zobrazovat. Na trhu existuje několik veřejně dostupných serverů, které umožňují přijímání dat skrze různé protokoly a jejich následné uchovávání a zpracovávání.

Mezi nejznámější služby patří ThingSpeak¹, který umožňuje integraci MATLAB skriptů které se spouštějí nad uloženými přijatými daty. Při využívání neplacené verze této služby jsme limitování maximálním počtem přijatých zpráv za den (8200), maximální dobou běhu skriptů 20 s nebo třeba pouze čtyřmi neveřejnými kanály na jeden účet. Další nevýhodou je možnost přijímat do jednoho kanálu maximálně 8 proměnných, pokud bychom chtěli vizualizovat více dat, musíme je rozdělit do více kanálů a můžeme tak brzy narazit na limity účtu poskytovaného zdarma.

Dalším z možných serverů na příjem a zpracování dat je ubidots². I tento server poskytuje licenci zdarma, která je určena pro nekomerční použití studenty a kutily, kteří si chtějí platformu vyzkoušet. Nachází se zde omezení například v počtu maximálně tří připojených zařízení a uchovávání dat po dobu maximálně jednoho měsíce. Každé připojené zařízení může zasílat ke zpracování maximálně 10 měřených veličin.

Jednou z možností je využít Arduino Cloud³ od stejnojmenné společnosti Arduino. Jejich cloud nabízí také plán pro používání bez poplatků, zde se dostáváme na mnohem větší restrikce než u dříve zmíněných služeb. Připojena mohou být pouze dvě zařízení, zařízení musí být naprogramováno v jejich prostředí, jelikož není k dispozici API (Application Programming Interface) pro připojení jiných zařízení. Největší nevýhodou je uchovávání naměřených dat pouze jeden den, což je pro statistiky či sledování nepoužitelné.

Další z mnoha možností, jak uchovávat a zpracovávat naměřená data je vytvoření vlastního prostředí pro tyto účely. Lze použít spojení databázové aplikace, která bude uchovávat data (např. InfluxDB⁴) ke které bude připojen Eclipse Mosquitto⁵, což je tzv. MQTT broker, který je potřebný k přijímání dat zasílaných skrze protokol MQTT. Tento broker lze poté připojit přes Node-RED⁶, což je programovací nástroj určený k jednoduchému propojení zařízení s dalšími službami, lze jej tedy použít pro zpracování přijatých zpráv a jejich následné uložení do databáze. Statistiky a přehledy lze vykreslovat pomocí služby Grafana⁷.

¹<https://thingspeak.com/>

²<https://ubidots.com/>

³<https://docs.arduino.cc/cloud/iot-cloud>

⁴<https://www.influxdata.com/>

⁵<https://mosquitto.org/>

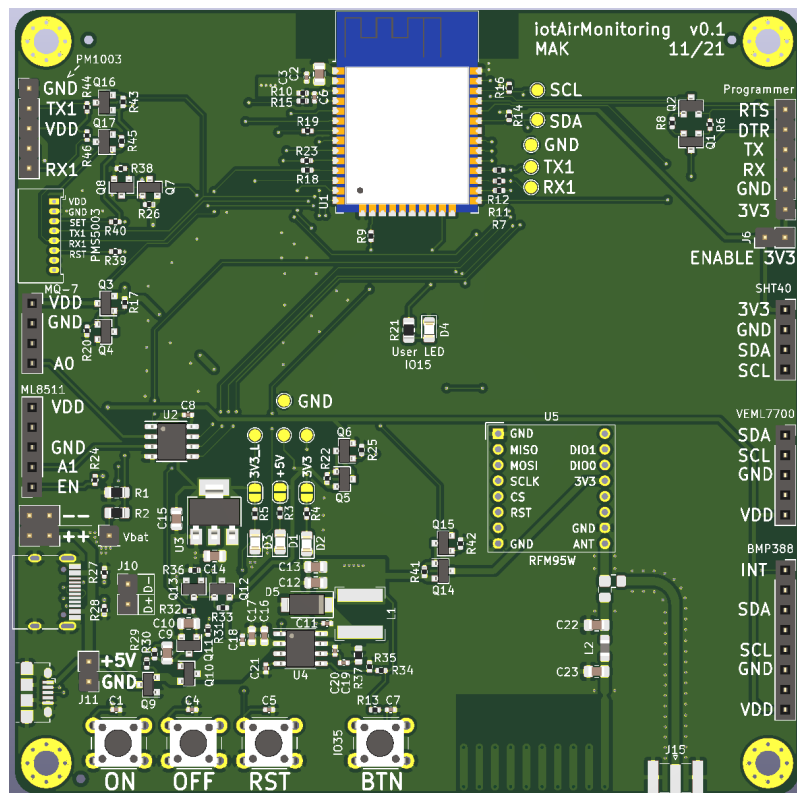
⁶<https://nodered.org/>

⁷<https://grafana.com/>

4 Návrh desky plošných spojů

Deska plošných spojů byla navržena podle výrobních pravidel firmy JLCPCB¹. Maximální rozměry jsou 100×100 mm a byla využita dvouvrstvá deska. Do těchto výrobních možností je tedy nutné koncipovat celý návrh desky plošných spojů. Osazování proběhne v drtivé většině součástek u dříve zmíněné firmy strojně, jelikož i za cenu včetně osazení je cena součástek nakoupená právě u nich nesrovnatelná například s českou konkurencí. Jednou z možných nevýhod je absence strojního osazení z obou stran desky, tento výrobce umožňuje osazovat pouze jednu stranu desky plošného spoje.

Pro dosažení co nejlepších parametrů celého obvodu bylo dbáno na doporučené zapojení dle datasheetu výrobců. Největší pozornost byla věnována oblasti spínaného zdroje, jelikož zde je důležité správně rozložit součástky a dimenzovat spoje na desce. Pro dosažení nízké spotřeby je možné jednotlivé skupiny senzorů a modulů vypínat. Na obrázku 4.1 je vidět celá navržená deska plošných spojů o rozměrech 100×100 mm z horní strany. Výsledná deska plošných spojů byla navržena v programu KiCad², který je dostupný zdarma a lze jej používat i pro komerční projekty.



Závěr

V teoretickém úvodu byly rozebrány jednotlivé technologie senzorů pro měření daných veličin a možnosti přenášení naměřených dat na server. Následně byly vybrány všechny potřebné senzory s ohledem na kvalitativní parametry a co nejnižší provozní spotřebu pro dosažení co nejdelšího provozu při případném provozu z akumulátorů. Jako IoT síť pro přenos dat byla pro první experimentální pokusy vybrána síť WiFi, s možností doplnění připojení přes LoRaWAN. Nedlouhou součástí výběru hardwarových komponent byl výběr řídícího mikrokontroleru, kde bylo zapotřebí vybrat vhodný typ podle potřebných komunikačních sběrnic a hardwarových prostředků. Nakonec byl vybrán mikrokontroler ESP32, jelikož má všechny potřebné periferie a umožňuje dosáhnout při různých provozních režimech velice nízké spotřeby.

Po sestavení výsledného blokového schématu byla navržena dvouvrstvá deska plošných spojů o rozměrech 100×100 mm, která byla následně vyrobena včetně strojního osazení většiny součástek. Po jejím vyrobení byly doosazeny ručně zbylé součástky a byla vyzkoušena alespoň základní funkčnost hlavních komponent. Bylo zjištěno, že mikrokontroler je možné naprogramovat a funguje komunikace se senzory. Byla změřena také spotřeba celého zařízení při vypnutí všech senzorů a ponechání pouze zapnutého mikrokontroleru v režimu hlubokého spánku. V tomto stavu má deska spotřebu okolo $500 \mu\text{A}$. Dále byla změřena impedance integrované antény na desce plošných spojů, která ovšem nevyšla podle očekávání. Změřená impedance byla $700 + j0 \Omega$, což není správné. Může to být nejspíše způsobeno špatným návrhem desky plošných spojů.

Dále je tedy třeba naprogramovat firmware mikrokontroleru, aby bylo možné měřit a odesílat všechny potřebné veličiny. Je třeba vyřešit problém s integrovanou anténou, a to například vyrobením desek, na kterých bude pouze zkoumaná anténa. Eliminuje se tím vliv okolí na desce a může se poté provést nové měření. V neposlední řadě je také potřeba do návrhu přidat možnost napájet zařízení z baterie pro použití mimo dosah elektrické sítě a s tím je spojená další optimalizace spotřeby celého zařízení.

Literatura

- [1] CUBIC. *Infrared LED Particle Sensor Module* [online]. 2018 [cit. 18. listopadu 2021]. Dostupné na: <http://9b54c437a0e032d4eb32-010f1da83de0c62ea8c11f5612b46edb.r27.cf3.rackcdn.com/Cubic_PM1003_DS.pdf>.
- [2] NANINAILS. *Lampy na nehty: Tajemství UV/LED technologie* [online]. 2020 [cit. 26. prosince 2021]. Dostupné na: <<https://blog.naninails.cz/site/source/zareni.jpg>>.
- [3] AVNET. *MEMS pressure sensors* [online]. 2021 [cit. 10. listopadu 2021]. Dostupné na: <<https://www.avnet.com/wps/portal/abacus/solutions/technologies/sensors/pressure-sensors/core-technologies/mems>>.
- [4] THE THINGS INDUSTRIES. *Duty Cycle* [online]. 2021 [cit. 20. listopadu 2021]. Dostupné na: <<https://www.thethingsnetwork.org/docs/lorawan/duty-cycle/#fair-use-policy>>.
- [5] LORA ALLIANCE. *A technical overview of LoRa® and LoRaWAN™* [online]. listopad 2020 [cit. 19. listopadu 2021]. Dostupné na: <<https://lora-alliance.org/wp-content/uploads/2020/11/what-is-lorawan.pdf>>.
- [6] SIGFOX. *Sigfox.cz - Connecting things* [online]. 2021 [cit. 20. listopadu 2021]. Dostupné na: <<https://sigfox.cz/cs>>.
- [7] 3GPP. *3GPP* [online]. 2021 [cit. 20. listopadu 2021]. Dostupné na: <<https://www.3gpp.org/>>.
- [8] ADAFRUIT. *PM2.5 Air Quality Sensor and Breadboard Adapter Kit - PMS5003* [online]. 2021 [cit. 21. listopadu 2021]. Dostupné na: <<https://www.adafruit.com/product/3686>>.
- [9] CUBIC. *PM1006 LED PARTICLE SENSOR SPECIFICATION* [online]. 2021 [cit. 21. listopadu 2021]. Dostupné na: <http://www.jdscompany.co.kr/download.asp?gubun=07&filename=PM1006_LED_PARTICLE_SENSOR_MODULE_SPECIFICATIONS.pdf>.
- [10] SHARP. *GP2Y1010AU0F* [online]. 2021 [cit. 21. listopadu 2021]. Dostupné na: <https://global.sharp/products/device/lineup/data/pdf/datasheet/gp2y1010au_e.pdf>.

- [11] ECLIPSERA s.r.o.. *Arduino MQ7 MQ-7 oxidu uhelnatého CO / dratek.cz* [online]. 2021 [cit. 28. listopadu 2021]. Dostupné na: <<https://dbratek.cz/arduino/48468-mq7-mq-7-senzor-oxidu-uhelnateho-co.html>>.
- [12] LAPIS SEMICONDUCTOR Co., LTD.. *ML8511* [online]. 2013 [cit. 29. listopadu 2021]. Dostupné na: <https://cdn.sparkfun.com/datasheets/Sensors/LightImaging/ML8511_3-8-13.pdf>.
- [13] MAXIM INTEGRATED. *Programmable Resolution 1-Wire Digital Thermometer* [online]. 2019 [cit. 1. prosince 2021]. Dostupné na: <<https://datasheets.maximintegrated.com/en/ds/DS18B20.pdf>>.
- [14] TEXAS INSTRUMENTS. *LM75A Digital Temperature Sensor and Thermal Watchdog With Two-Wire Interface* [online]. 2000 [cit. 1. prosince 2021]. Dostupné na: <<https://www.ti.com/lit/ds/symlink/lm75a.pdf>>.
- [15] SENSIRION. *Datasheet SHT3x-ARP* [online]. 2016 [cit. 1. prosince 2021]. Dostupné na: <https://www.tme.eu/Document/2e0098c5e5c9e7ad6b9934b65a407be3/Sensirion_SHT3x_analog.pdf>.
- [16] SENSIRION. *Datasheet SHT3x-DIS* [online]. 2016 [cit. 1. prosince 2021]. Dostupné na: <https://www.mouser.com/datasheet/2/682/Sensirion_Humidity_Sensors_SHT3x_Datasheet_digital-971521.pdf>.
- [17] SENSIRION. *SHT4x* [online]. 2020 [cit. 1. prosince 2021]. Dostupné na: <<https://cdn.sos.sk/productdata/79/7c/0364ef45/sht40-ad1b-r2.pdf>>.
- [18] LASKARDUINO.CZ. *LaskaKit SHT40 Senzor teploty a vlhkosti vzduchu / laskarduino.cz* [online]. 2021 [cit. 5. prosince 2021]. Dostupné na: <<https://www.laskarduino.cz/laskakit-sht40-senzor-teploty-a-vlhkosti-vzduchu/>>.
- [19] ROHM Co., LTD.. *Digital 16bit Serial Output Type Ambient Light Sensor IC* [online]. 2011 [cit. 5. prosince 2021]. Dostupné na: <<https://www.mouser.com/datasheet/2/348/bh1750fvi-e-186247.pdf>>.
- [20] TEXAS ADVANCED OPTOELECTRONIC SOLUTIONS INC.. *TSL2560, TSL2561 LIGHT-TO-DIGITAL CONVERTER* [online]. 2009 [cit. 5. prosince 2021]. Dostupné na: <<https://cdn-shop.adafruit.com/datasheets/TSL256x.pdf>>.

- [21] VISHAY. *High Accuracy Ambient Light Sensor With I²C Interface* [online]. 2021 [cit. 5. prosince 2021]. Dostupné na: <<https://www.vishay.com/docs/84286/veml7700.pdf>>.
- [22] RPISHOP.CZ. *Adafruit VEML7700 Lux I²C světelný senzor* [online]. 2021 [cit. 5. prosince 2021]. Dostupné na: <<https://rpishop.cz/senzory/4126-adafruit-veml7700-lux-i2c-svetelny-senzor.html>>.
- [23] BOSCH. *BMP180 Data sheet* [online]. 2013 [cit. 7. prosince 2021]. Dostupné na: <<https://cdn-shop.adafruit.com/datasheets/BST-BMP180-DS000-09.pdf>>.
- [24] BOSCH. *BMP280: Data sheet* [online]. 2018 [cit. 7. prosince 2021]. Dostupné na: <<https://www.gme.cz/data/attachments/dsh.772-274.2.pdf>>.
- [25] BOSCH. *BMP388 - Data sheet* [online]. 2018 [cit. 7. prosince 2021]. Dostupné na: <<https://www.mouser.com/pdfdocs/BST-BMP388-DS001-01.pdf>>.
- [26] BOSCH. *BME280 - Data sheet* [online]. 2021 [cit. 7. prosince 2021]. Dostupné na: <<https://www.bosch-sensortec.com/media/boschsensortec/downloads/datasheets/bst-bme280-ds002.pdf>>.
- [27] TDK CORPORATION. *High Accuracy, Low Power, Waterproof Barometric Pressure and Temperature Sensor IC* [online]. 2019 [cit. 7. prosince 2021]. Dostupné na: <<https://www.farnell.com/datasheets/2905836.pdf>>.
- [28] MICROCHIP. *MegaAVR® Data Sheet* [online]. 2020 [cit. 14. prosince 2021]. Dostupné na: <<https://ww1.microchip.com/downloads/en/DeviceDoc/ATmega48A-PA-88A-PA-168A-PA-328-P-DS-DS40002061B.pdf>>.
- [29] ESPRESSIF SYSTEMS. *ESP32 Series Datasheet* [online]. 2021 [cit. 14. prosince 2021]. Dostupné na: <https://www.espressif.com/sites/default/files/documentation/esp32_datasheet_en.pdf>.
- [30] ATMEL CORPORATION. *ATSAM ARM-based Flash MCU SAM4L Series* [online]. 2013 [cit. 14. prosince 2021]. Dostupné na: <http://ww1.microchip.com/downloads/en/DeviceDoc/Atmel-42023-ARM-Microcontroller-ATSAM4L-Low-Power-LCD_Datasheet.pdf>.
- [31] STMICROELECTRONICS. *8-bit ultra-low-power MCU, 64 KB Flash, 2 KB data EEPROM, RTC, AES, LCD, timers, USARTs, I²C, SPIs, ADC, DAC, COMPs* [online]. 2015 [cit. 14. prosince 2021]. Dostupné na: <<https://www.tme.eu/Document/555393ce991cb6c1e35c17af5cf6bcbb/STM8L162R8-DTE.pdf>>.

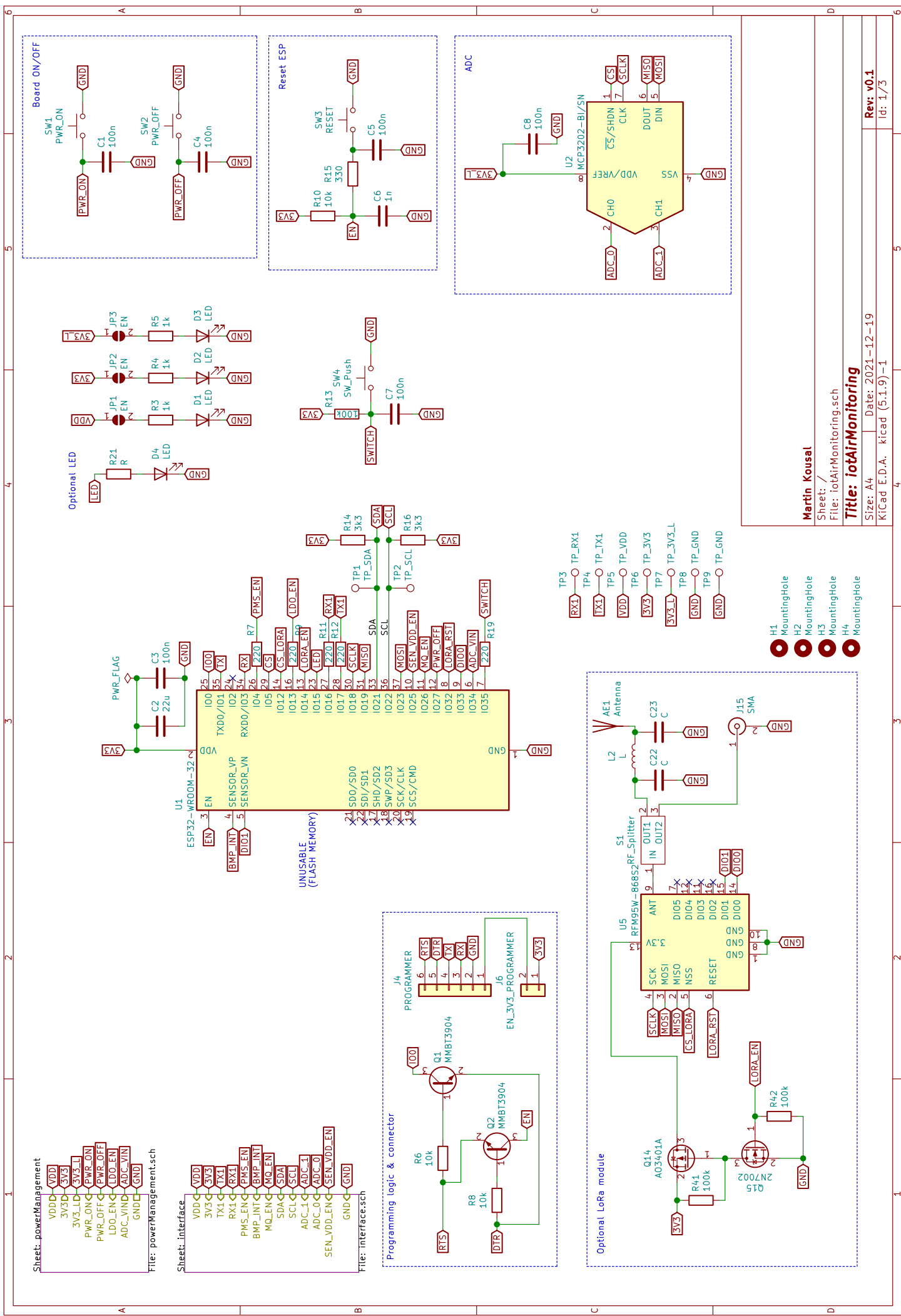
- [32] STMICROELECTRONICS. *Access line ultra-low-power 32-bit MCU Arm®-based Cortex®-M0+, up to 64 KB Flash, 8 KB SRAM, 2 KB EEPROM, ADC* [online]. 2018 [cit. 14. prosince 2021]. Dostupné na: <<https://www.tme.eu/Document/8153a4940683e7174c04490d86ca77b0/stm32l051c8.pdf>>.
- [33] MICROCHIP TECHNOLOGY INC.. *2.7V Dual Channel 12-Bit A/D Converter with SPI Serial Interface* [online]. 2011 [cit. 16. prosince 2021]. Dostupné na: <<https://www.tme.eu/Document/352ff61b0472cba270d1fa451c4df0c1/MCP3202.pdf>>.
- [34] ČESKÝ TELEKOMUNIKAČNÍ ÚŘAD. *Kmitočtová tabulka* [online]. 2018 [cit. 27. listopadu 2021]. Dostupné na: <<https://www.ctu.cz/narodni-kmitoctova-tabulka>>.
- [35] HOPE MICROELECTRONICS CO., LTD. *RFM95/96/97/98(W) - Low Power Long Range Transceiver Module* [online]. 2006 [cit. 10. prosince 2021]. Dostupné na: <https://cdn.sparkfun.com/assets/learn_tutorials/8/0/4/RFM95_96_97_98W.pdf>.
- [36] TEXAS INSTRUMENTS INCORPORATED. *TPS54331 3-A, 28-V Input, Step Down DC-DC Converter With Eco-mode™* [online]. 2014 [cit. 28. listopadu 2021]. Dostupné na: <<https://www.ti.com/lit/ds/symlink/tps54331.pdf>>.
- [37] ADVANCED MONOLITHIC SYSTEMS. *AMS1117 1A LOW DROPOUT VOLTAGE REGULATOR* [online]. 2021 [cit. 28. listopadu 2021]. Dostupné na: <<http://www.advanced-monolithic.com/pdf/ds1117.pdf>>.
- [38] TEXAS INSTRUMENTS INCORPORATED. *Miniature Helical PCB Antenna for 868 MHz or 915/920 MHz* [online]. 2012 [cit. 29. listopadu 2021]. Dostupné na: <<https://www.ti.com/lit/an/swra416/swra416.pdf>>.
- [39] HANWEI ELECTRONICS GROUP CORPORATION. *TECHNICAL DATA MQ-7 GAS SENSOR* [online]. 2021 [cit. 28. listopadu 2021]. Dostupné na: <<https://image.dfrobot.com/image/data/SEN0132/MQ-7.pdf>>.
- [40] MICRODIODE ELECTRONICS. *SS52 THRU SS5200* [online]. 2021 [cit. 28. listopadu 2021]. Dostupné na: <<https://www.farnell.com/datasheets/1441695.pdf>>.
- [41] ROTRONIC. *The Capacitive Humidity Sensor – How it Works & Attributes of the Uncertainty Budget* [online]. 2021 [cit. 17. listopadu 2021]. Dostupné

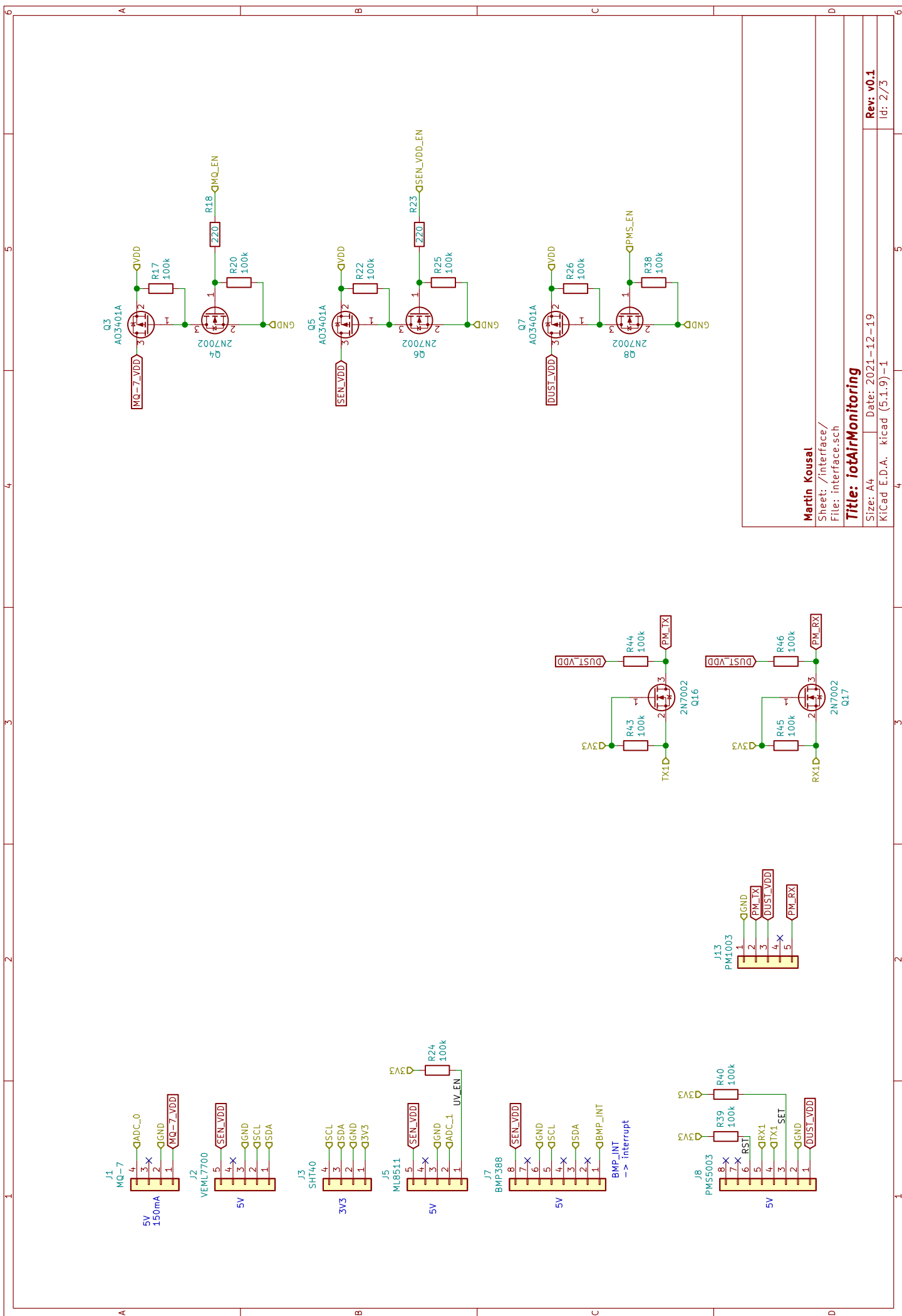
- na: <https://www.rotronic.com/media/productattachments/files/ca/capacitive_humidity_sensor_final.pdf>.
- [42] ANUSHA. *Humidity Sensor - Types and Working principle* [online]. 2017 [cit. 18. listopadu 2021]. Dostupné na: <<https://www.electronicshub.org/humidity-sensor-types-working-principle/>>.
- [43] ALAN. *Working Principles and Applications of Pressure Sensors* [online]. 2020 [cit. 17. listopadu 2021]. Dostupné na: <<https://www.utmel.com/blog/categories/sensors/working-principles-and-applications-of-pressure-sensors>>.
- [44] LEVITT-SAFETY LTD.. *How to measure dust in the workplace* [online]. 2021 [cit. 18. listopadu 2021]. Dostupné na: <<https://www.levitt-safety.com/blog/how-to-measure-dust-in-the-workplace/>>.
- [45] VAFEK, Z. *Možnosti měření oxidu uhličitého – měřicí přístroje a čidla* [online]. 2016 [cit. 17. listopadu 2021]. Dostupné na: <<https://vetrani.tzb-info.cz/vnitri-prostredi/13910-moznosti-mereni-oxidu-uhliciteho-merici-pristroje-a-cidla>>.
- [46] HUSÁK, M. *5. TEPLITNÍ SENZORY* [online]. 2021 [cit. 16. listopadu 2021]. Dostupné na: <<https://adoc.pub/5-teplotni-senzory-teplotni-senzory-jednotky-teplotni-senzor.html>>.
- [47] VOJÁČEK, A. *Přehled principů el. měření teploty - 1. díl* [online]. 2014 [cit. 15. listopadu 2021]. Dostupné na: <<https://automatizace.hw.cz/prehled-principu-el-mereni-teploty-1-dil>>.
- [48] VOJÁČEK, A. *Kvalita vzduchu v uzavřených místnostech - 6. Senzory PM částic* [online]. 2019 [cit. 16. listopadu 2021]. Dostupné na: <<https://automatizace.hw.cz/kvalita-vzduchu-v-uzavrenych-mistnostech-6-senzory-pm-castic.html>>.
- [49] EIT INSTRUMENT MARKETS. *Ultraviolet (UV) Measurement for Formulators: Part I* [online]. 2021 [cit. 17. listopadu 2021]. Dostupné na: <https://www.eit.com/sites/default/files/instruments/UVMeasurementForFormulatorsPart1_PaintAndCoatings.pdf>.

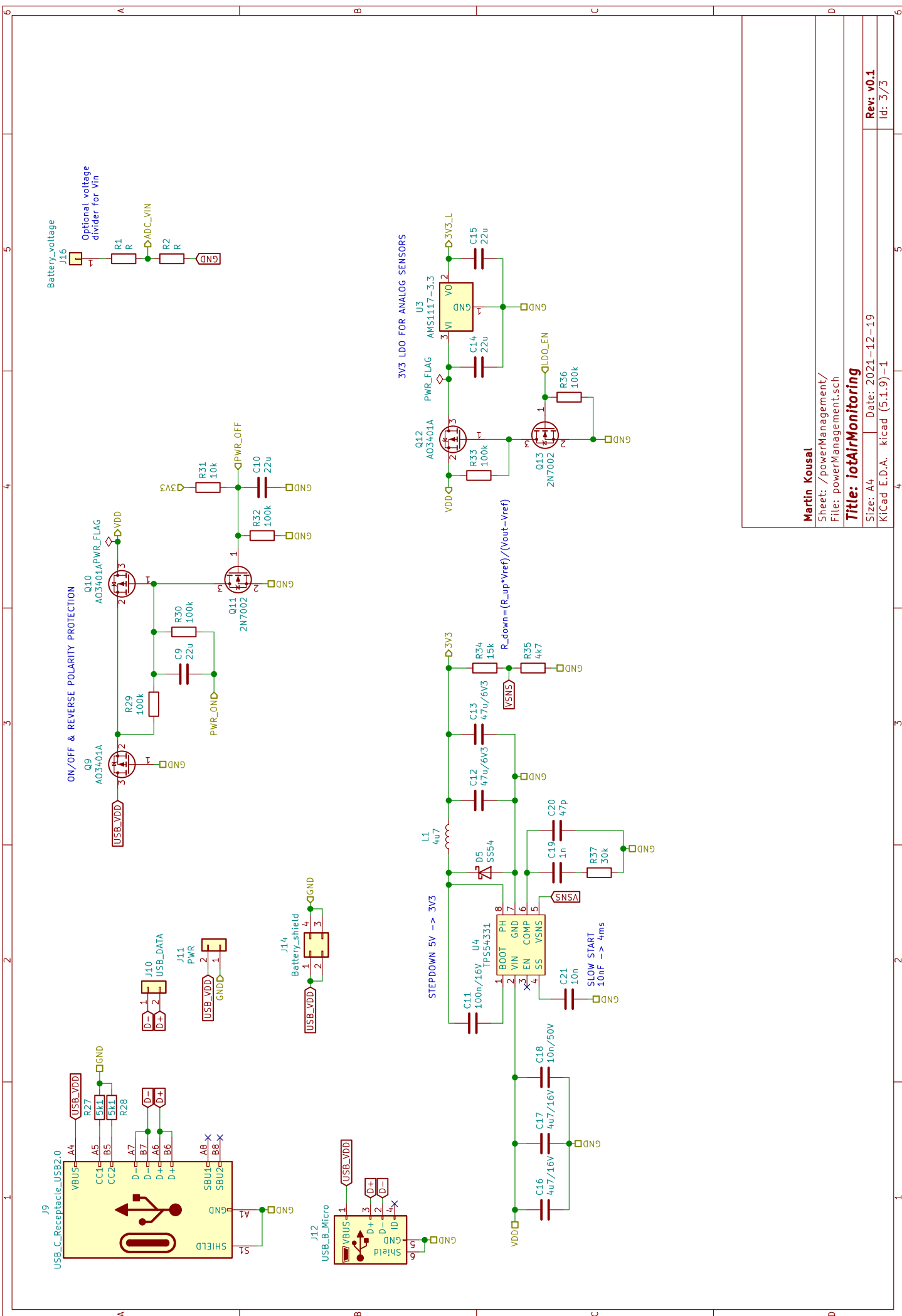
Seznam příloh

| | |
|---|----|
| A Schéma zapojení zařízení | 47 |
| B Foto realizované desky plošných spojů | 51 |

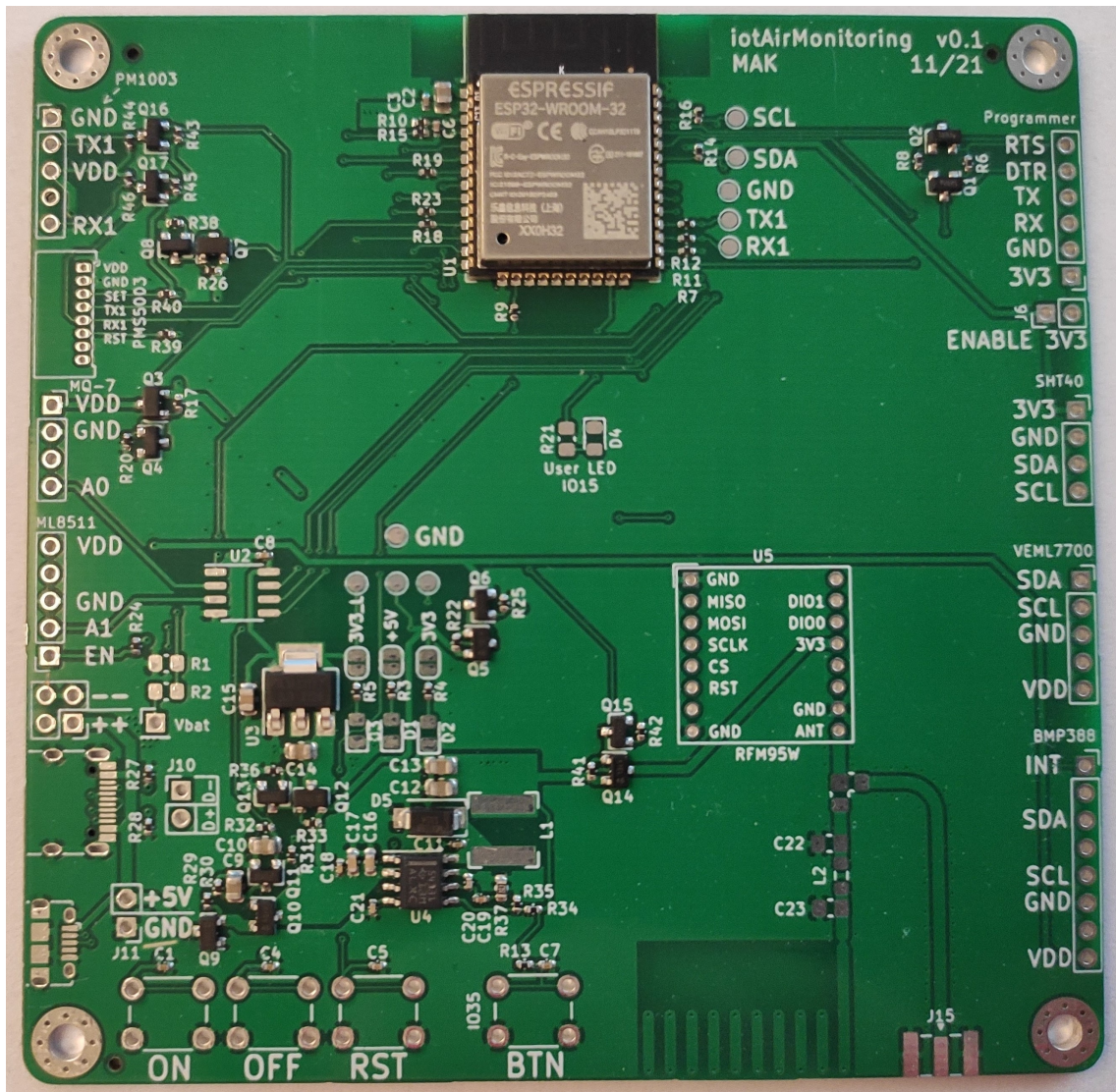
A Schéma zapojení zařízení



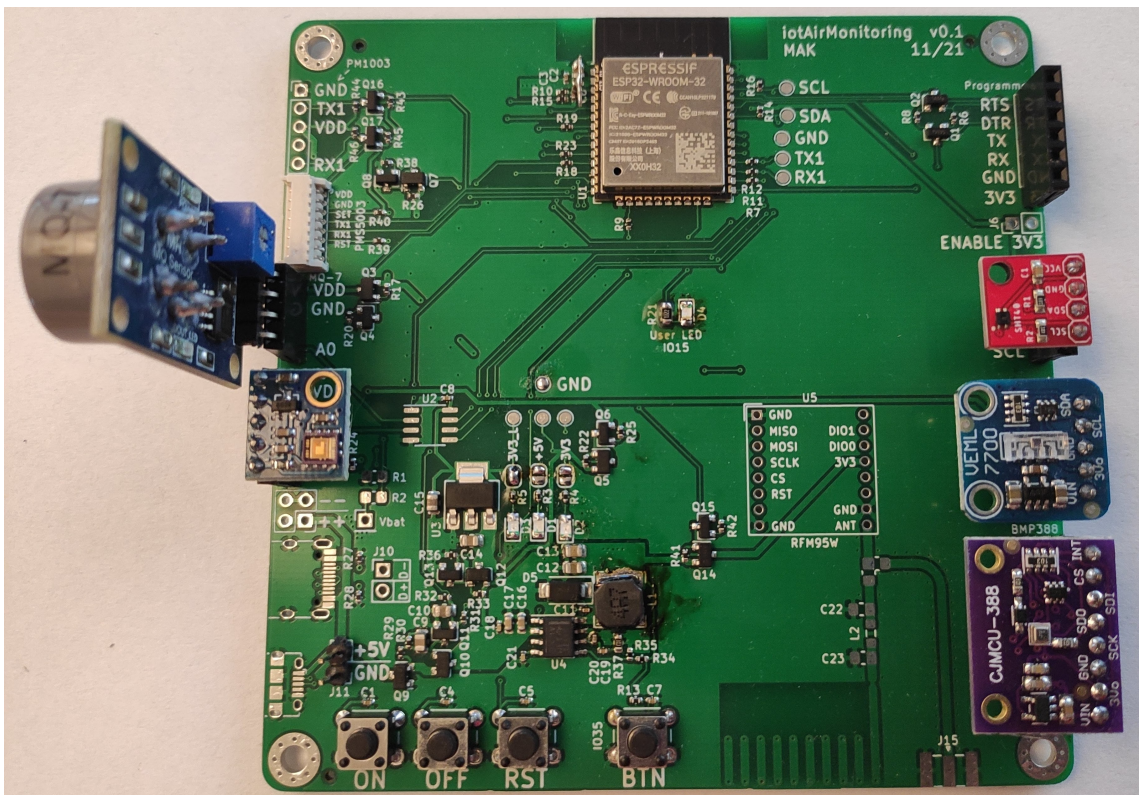




B Foto realizované desky plošných spojů



Obr. B.1: Foto realizované desky osazené z výroby.



Obr. B.2: Foto realizované desky včetně doosazení součástek a přidání modulů se senzory.